

Génétique Humaine : Maladies et Diagnostics

Daniel PERAZZA

(daniel.perazza@ujf-grenoble.fr)

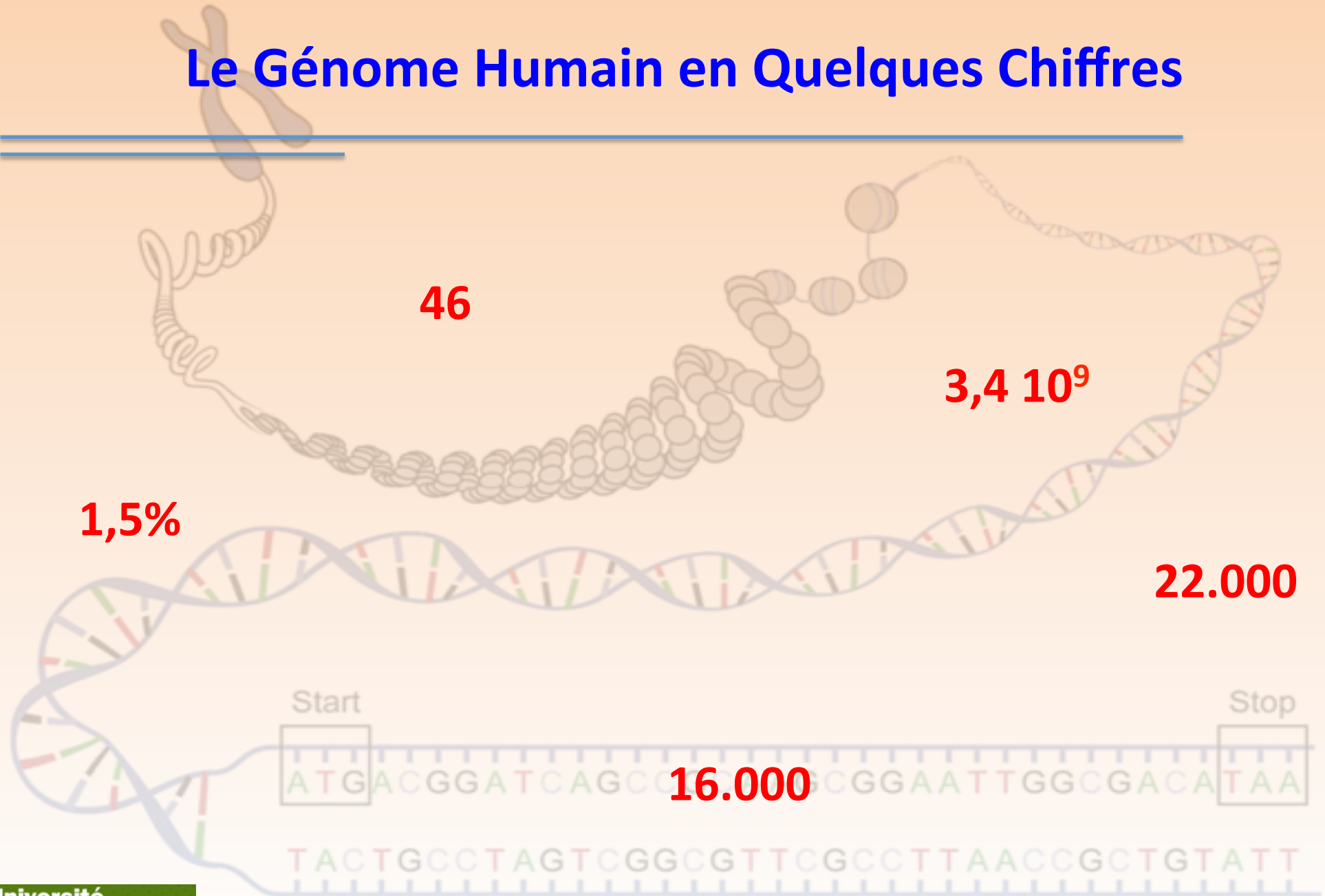
Maître de conférences – UFR Chimie-Biologie
Université J. Fourier



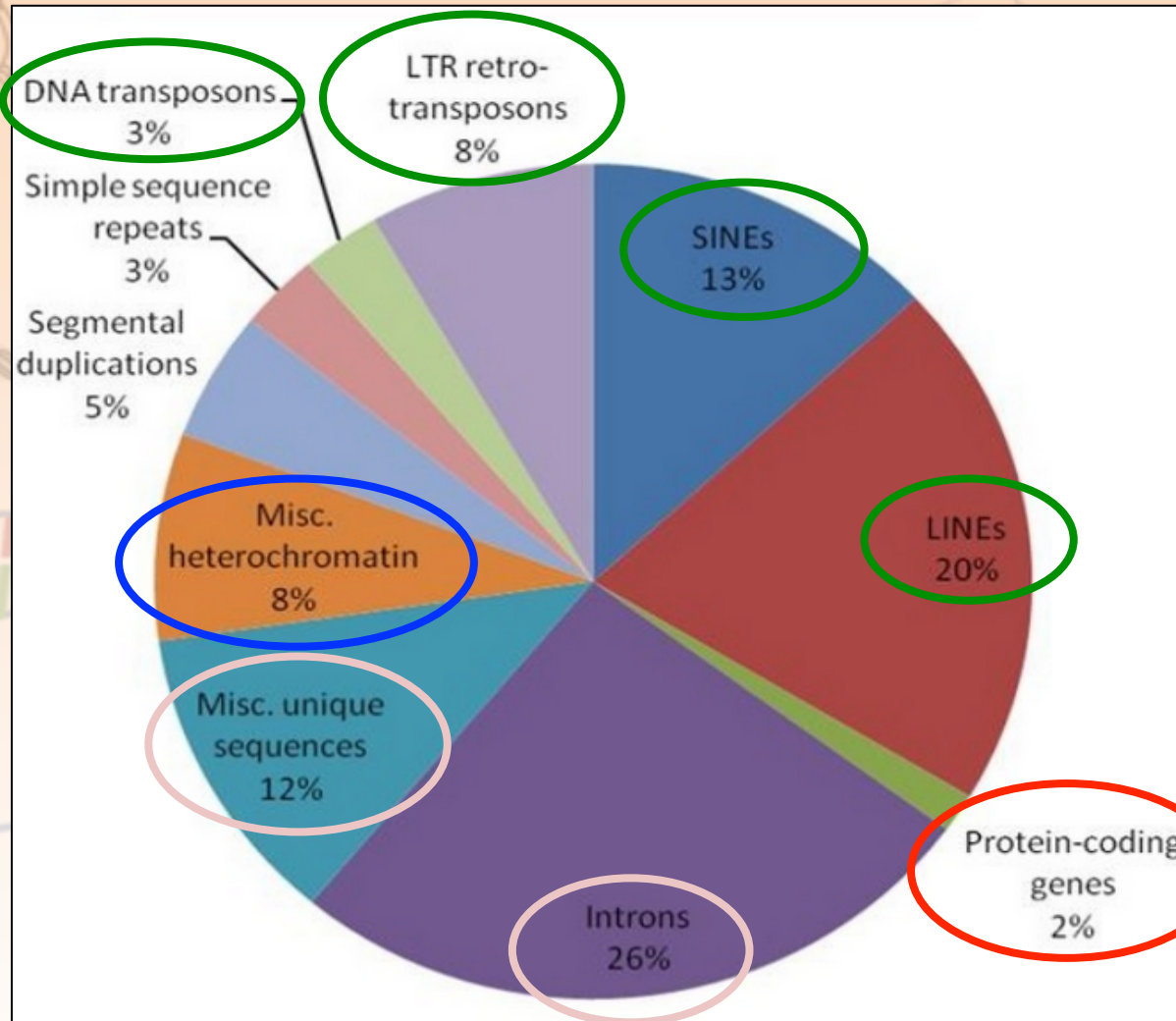
Institut Albert Bonniot



Le Génome Humain en Quelques Chiffres



Le Génome Humain : Structure Générale



Les Maladies Génétiques

Maladies génétiques transmissibles (mutations)

- monogéniques / multigéniques
- récessives / dominantes
- autosomiques / liées au sexe

Maladies génétiques chromosomiques (formule chromosomique \neq 46 chr)

- trisomies / monosomies / polyploïdies

Maladies génétiques sporadiques (cellules somatiques)

- cancers

Les Différents Niveaux du Diagnostic

Visuel

Imagerie

Bactériologique

Biochimique

Cellulaire

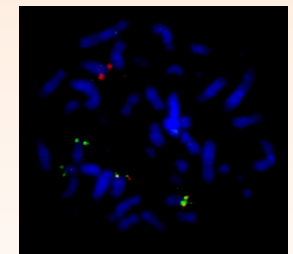
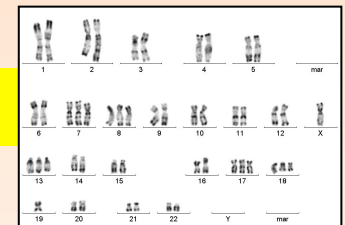
Moléculaire

Cytogénétique

FACS

Conventionnelle

Moléculaire



Caryotype

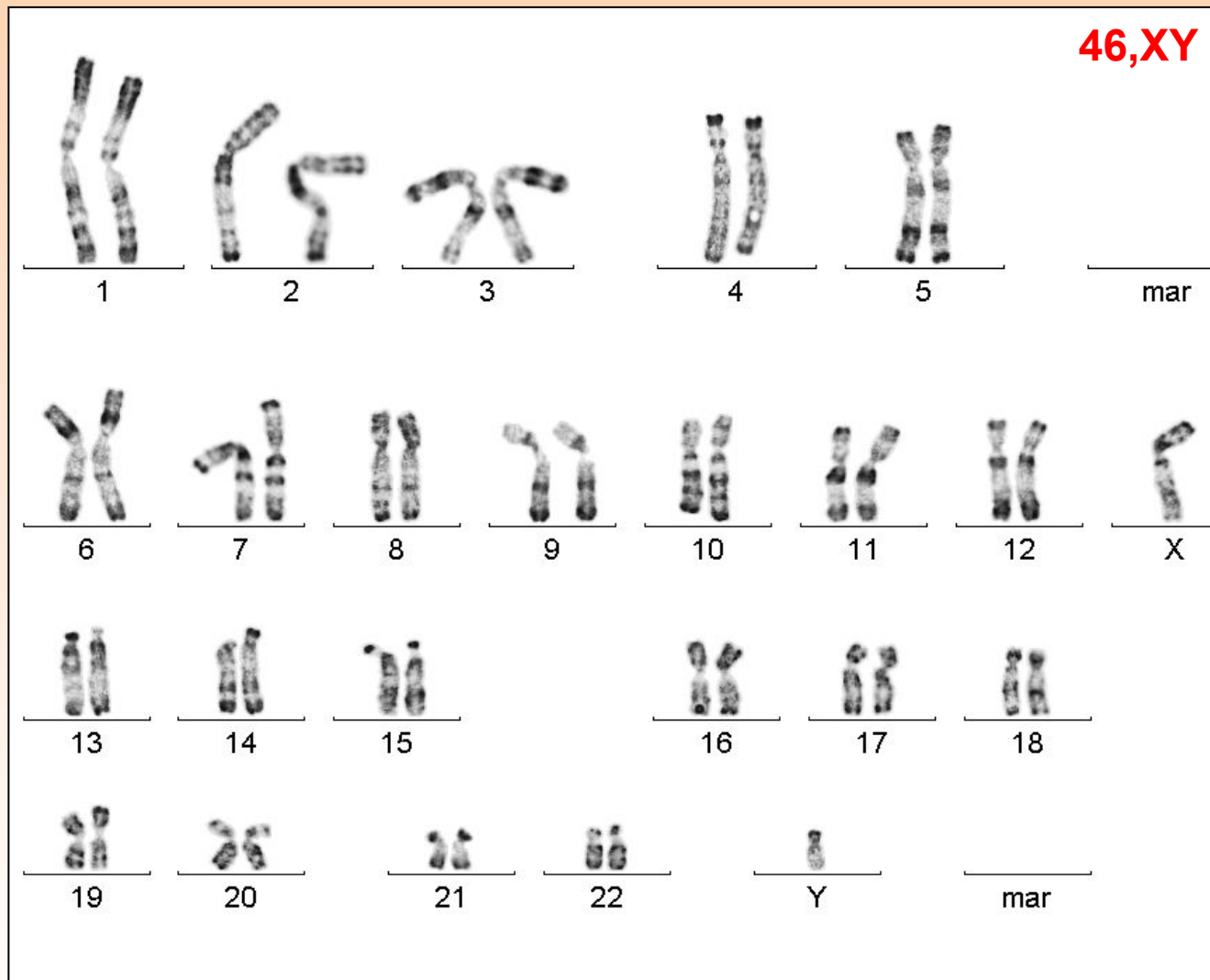
Obtention et analyse des chromosomes en métaphase

Dénombrement

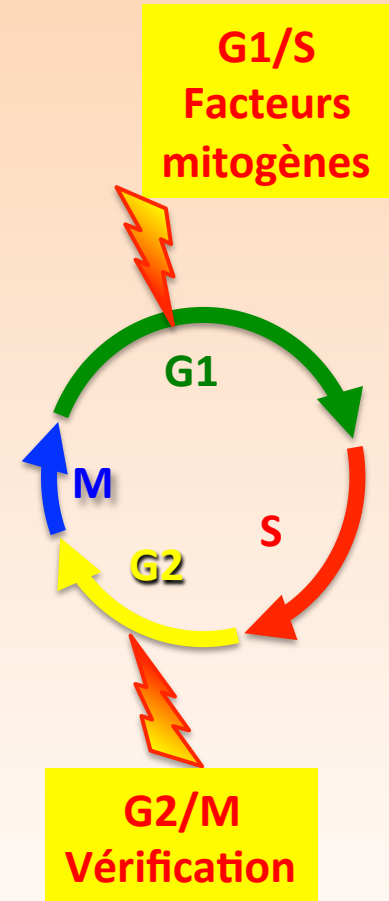
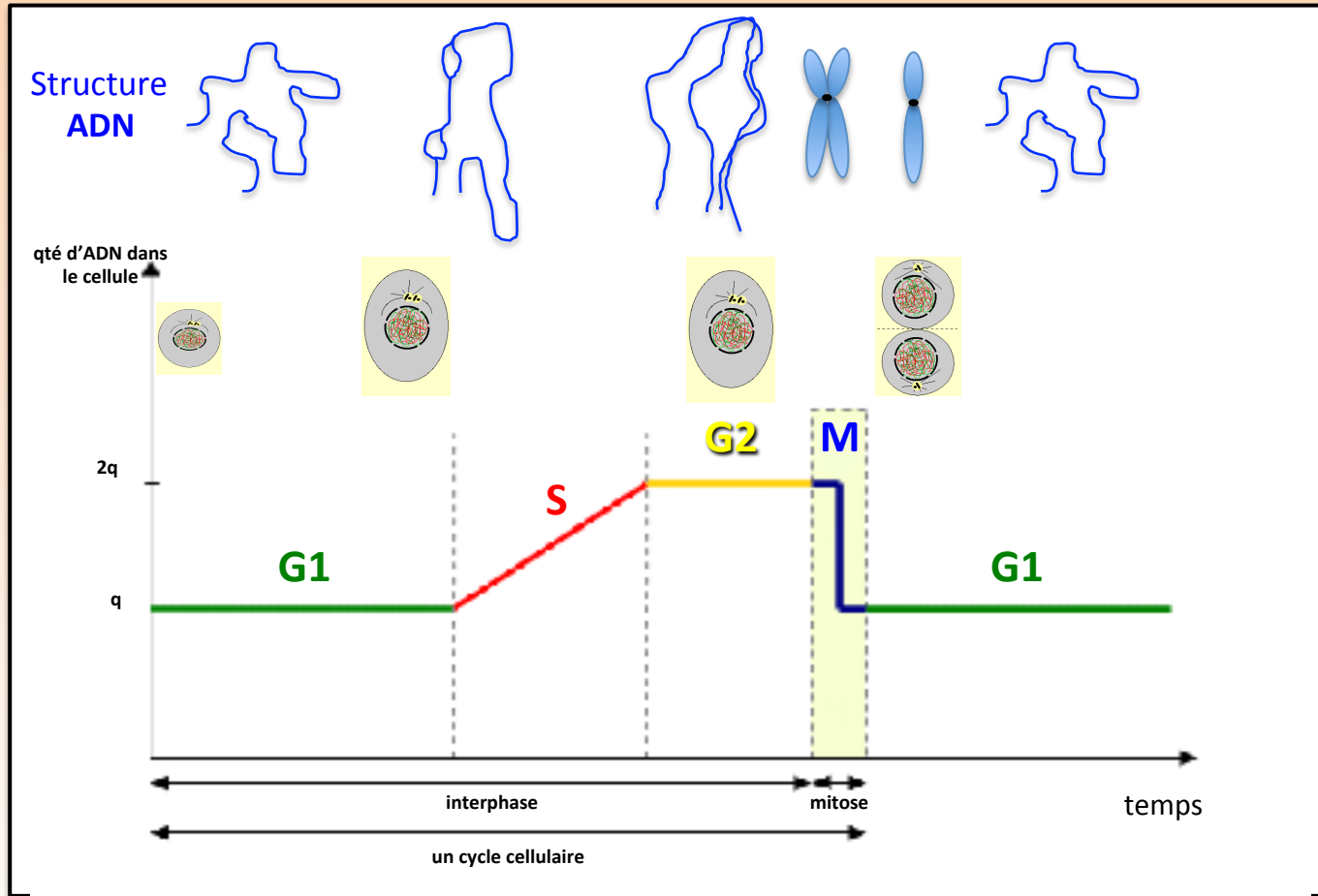
Analyse morphologique

Diagnostic d'anomalies chromosomiques

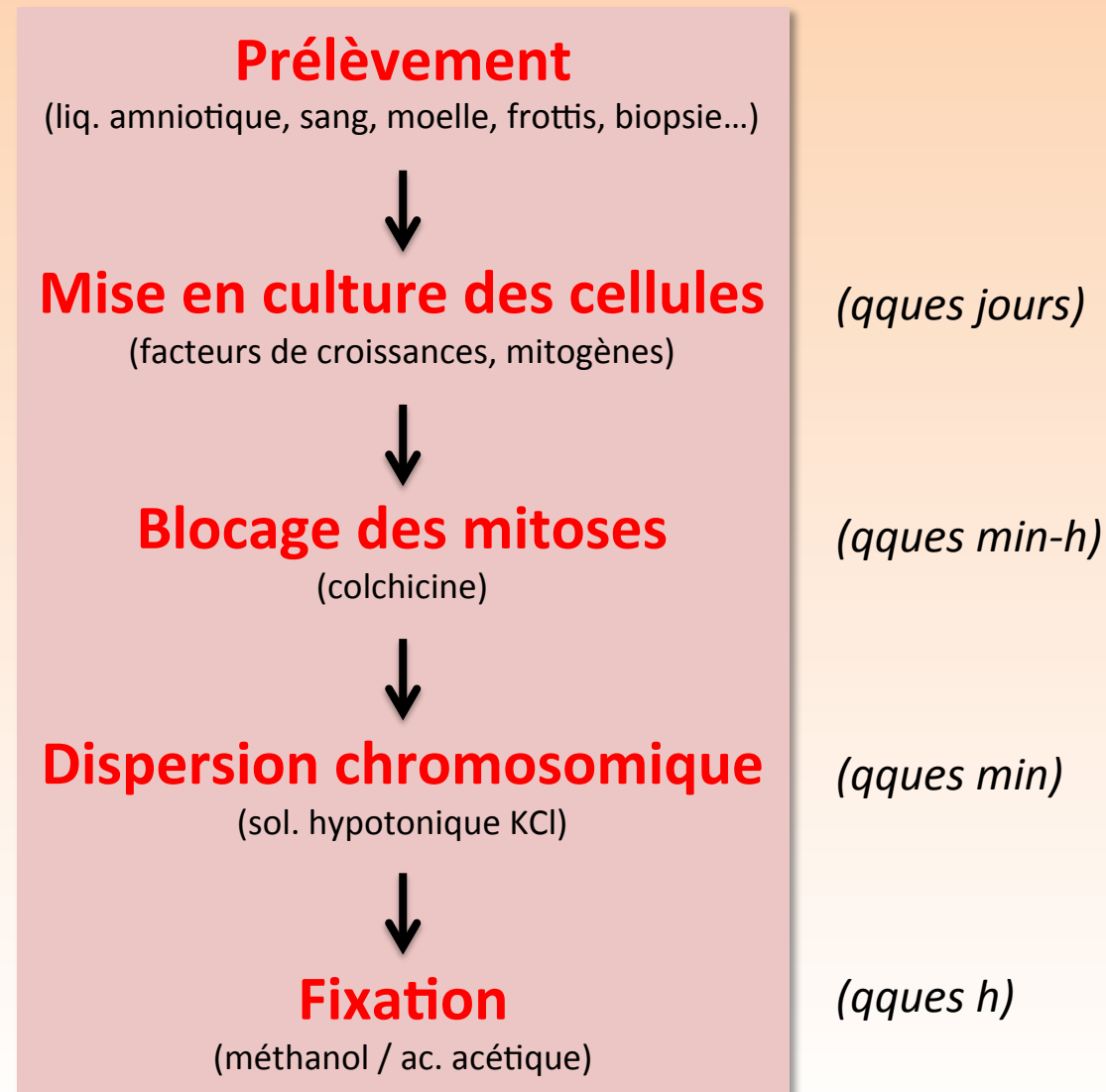
Caryotype Normal



Le Cycle Cellulaire



Caryotype : Obtention de Chromosomes Métaphasiques



Caryotype : Colorations

Etalement sur lame

G banding
(Giemsa)



Protéolyse
(trypsine)



Coloration Giemsa
(éosine + azurs méthylène)

Bandes sombres:
Riches en A:T
(pauvres en gènes)

R banding
(Reverse)



Dénaturation
(87°C)

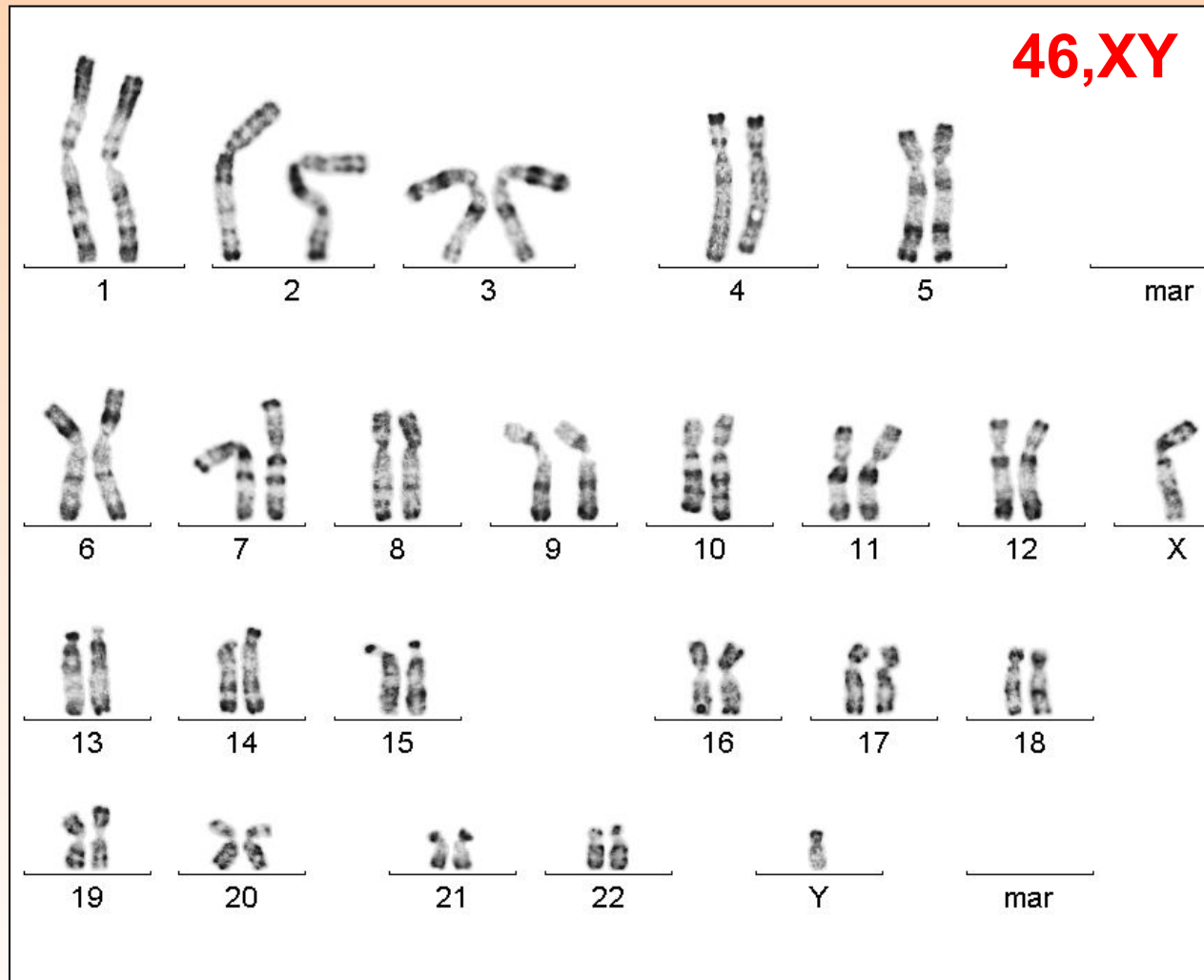


Coloration Giemsa
(éosine + azurs méthylène)

Bandes sombres:
Riches en G:C
(riches en gènes)

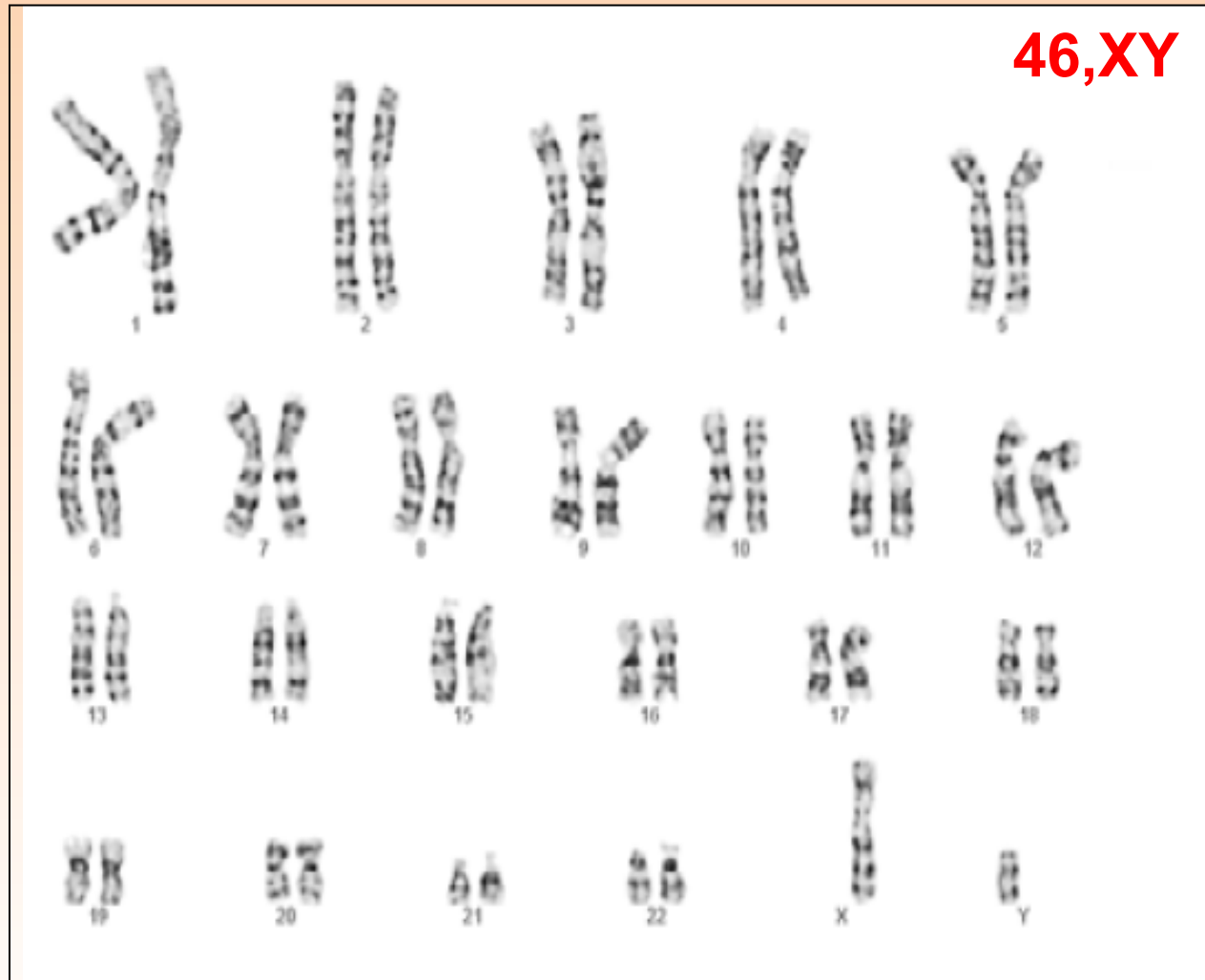
Observation / Acquisition / Classement
(microscope + logiciel d'analyse d'image)

Caryotype en Bandes R



C. Lefebvre – IBP Grenoble

Caryotype en Bandes G



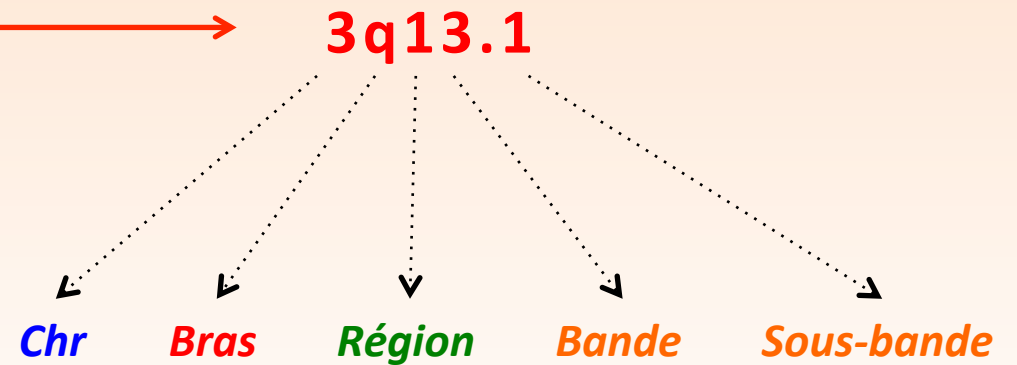
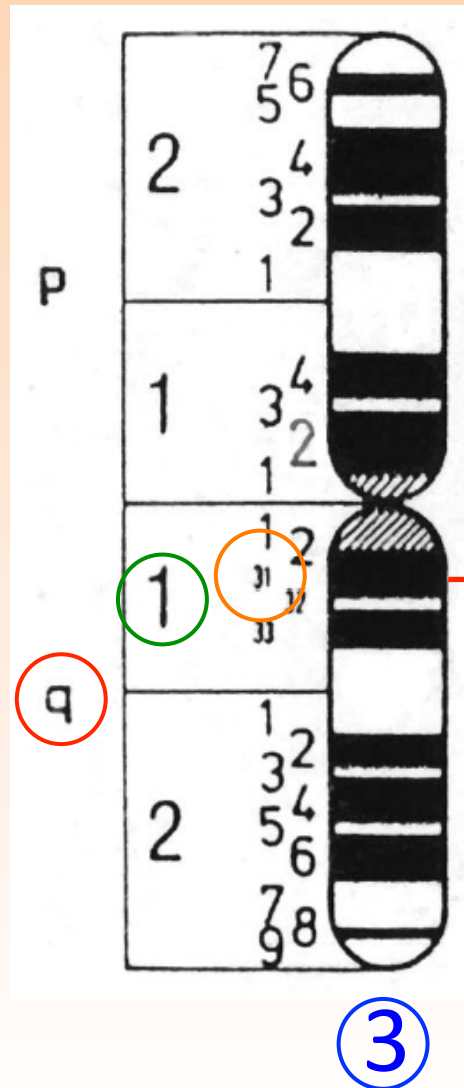
C. Lefebvre – IBP Grenoble

Comparaison de Caryotypes en Bandes G vs R



C. Lefebvre – IBP Grenoble

Nomenclature Bandes & Sous-Bandes Chromosomiques



Utilité du Caryotype

Détection d'anomalies chromosomiques

1- anomalies de nombre

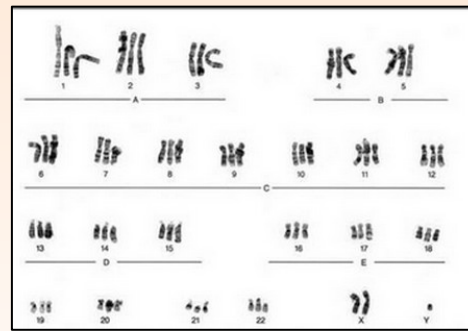
- trisomies 21, X (femme), Y (homme), 18, 13
 - tétrasomies (XXXX ; XXYY), pentasomie (XXXXX)
 - monosomies X
 - triploidie
- > $2n+1$
-> $2n+2$; $2n+3$
-> $2n-1$
-> $3n$



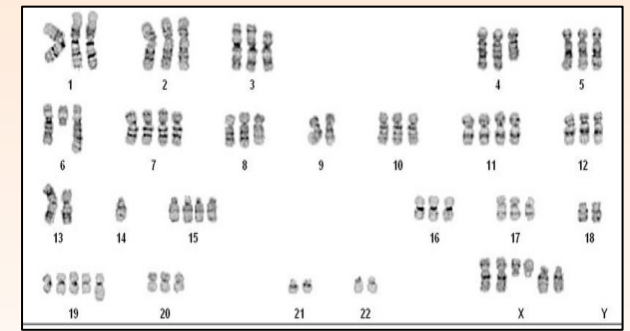
47, XX, +21



45, X



69, XXY



carcinome

Utilité du Caryotype

Détection d'anomalies chromosomiques

2- anomalies de structure

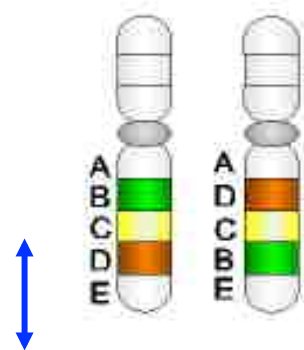
- équilibrées : ni perte, ni gain d'ADN
- déséquilibrées : délétion, duplication

Quelques Anomalies de Structure Chromosomique

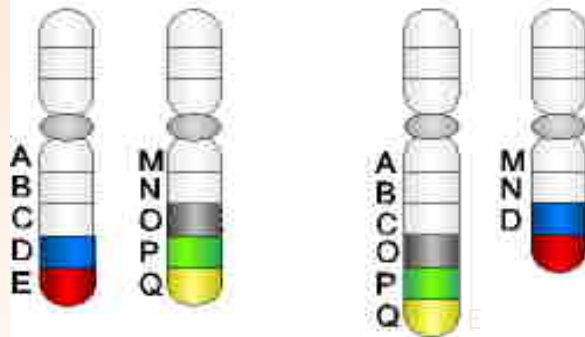
équilibrées

déséquilibrées

inversion



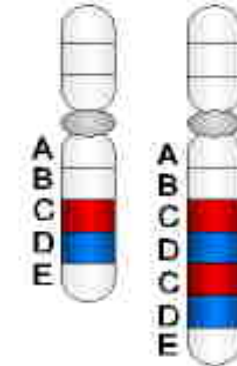
translocation
réciproque



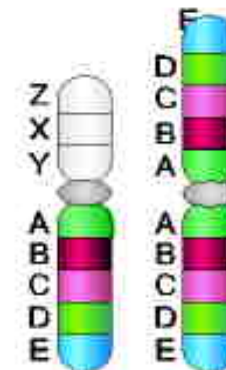
délétion



duplication



isochromosome



Intérêts & Limites d'un Caryotype

Analyse pangénomique

Détection d'anomalies de nombre et de structure

Échec de mise en culture

Si caryotype normal : nature des cellules en mitose?

Pouvoir de résolution : 1 bande = 5-10Mb

Les Différents Niveaux du Diagnostic

Visuel

Imagerie

Bactériologique

Biochimique

Cellulaire

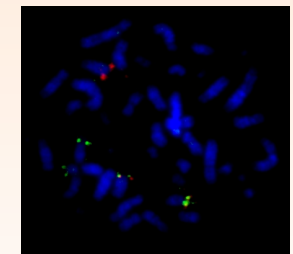
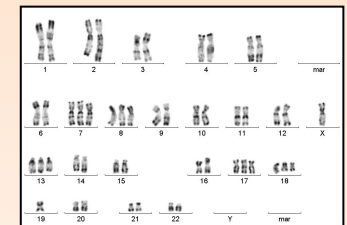
Moléculaire

Cytogénétique

FACS

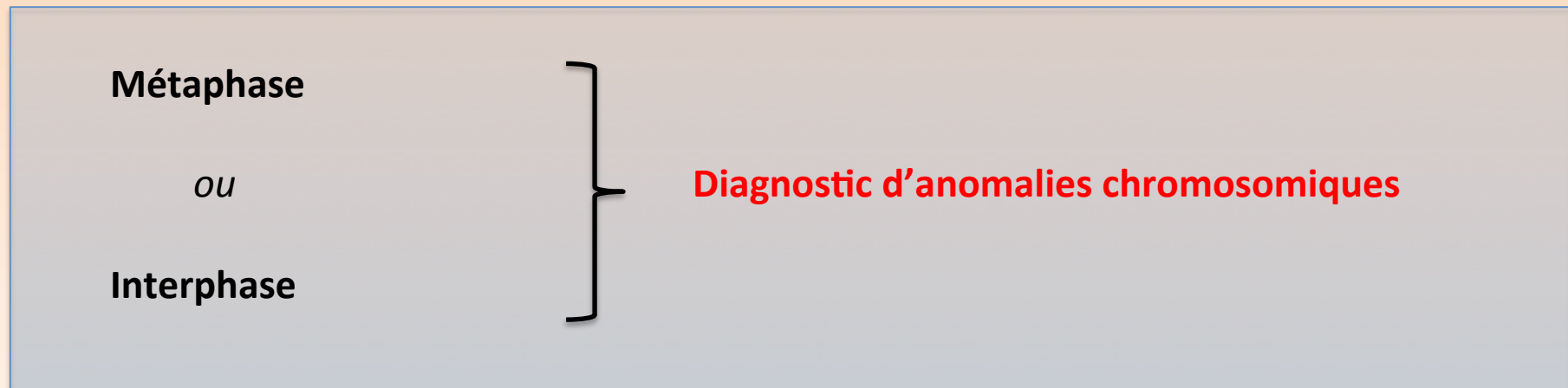
Conventionnelle

Moléculaire



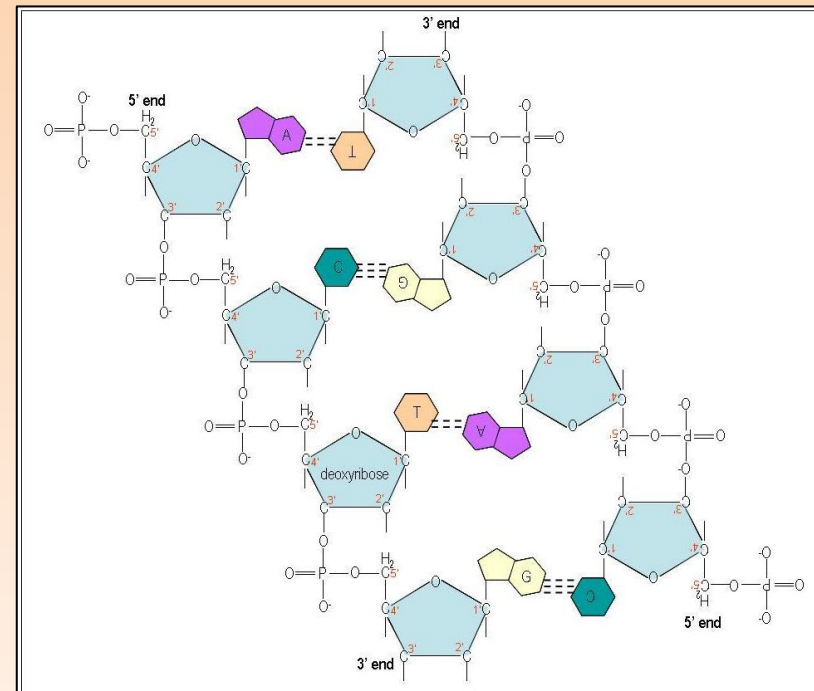
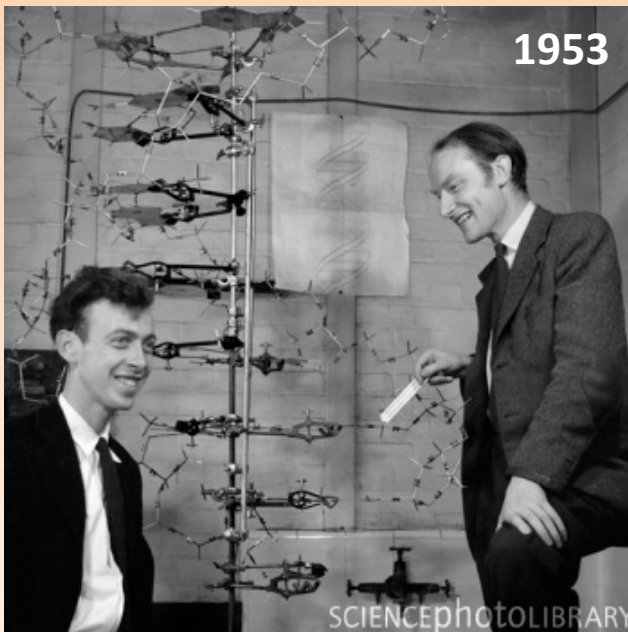
FISH : Fluorescent *In Situ* Hybridization

Détection *in situ* de séquences d'ADN



Question : comment identifier/repérer une séquence d'ADN particulière dans un génome?

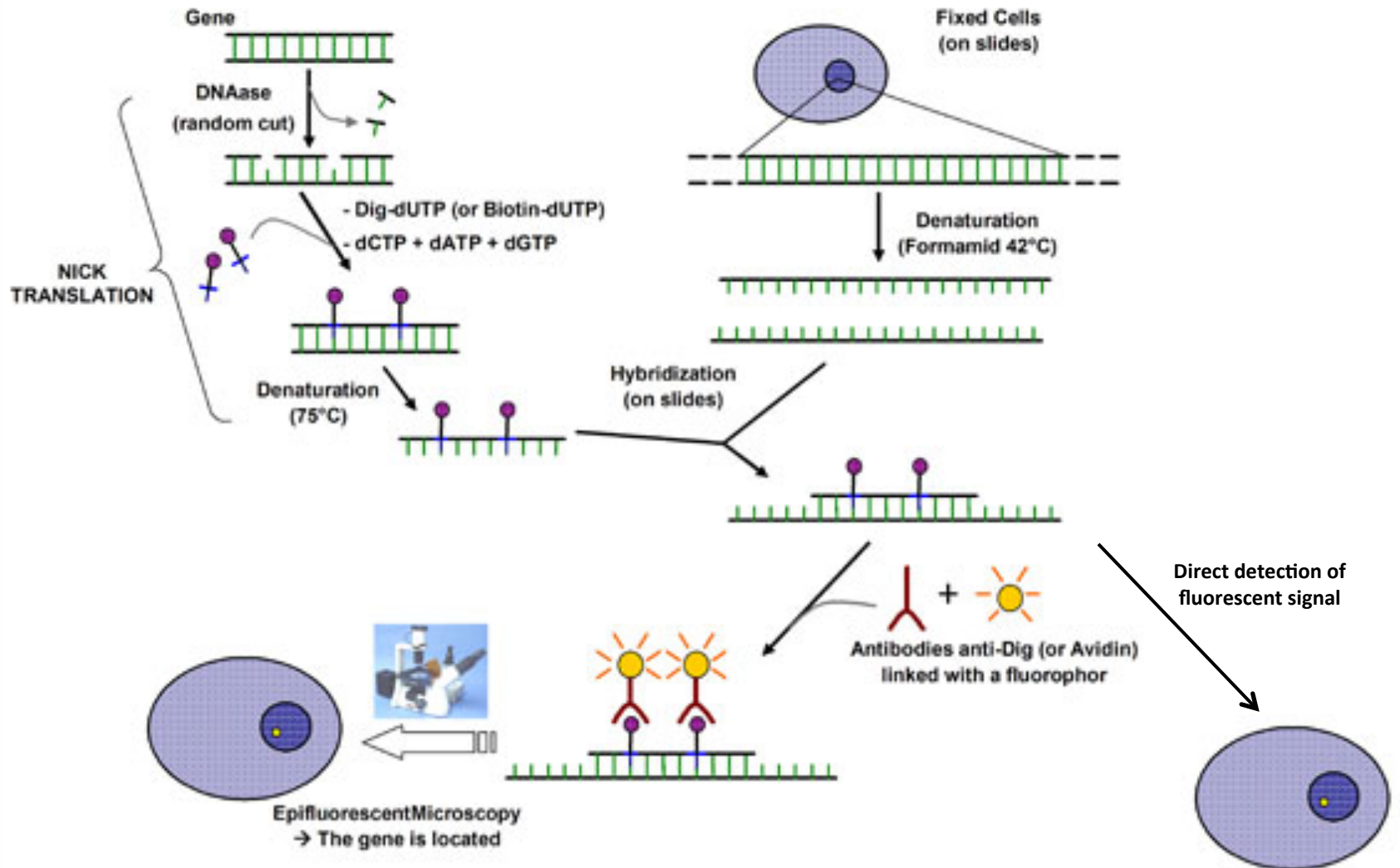
Hybridation Moléculaire d'ADN, Rappels



Principes de base de l'hybridation de l'ADN :

- Complémentarité
- Antiparallélisme

Principe de la FISH



Principe d'Utilisation de Sondes Fluorescentes

Fluorochromes (pour marquage des sondes) :

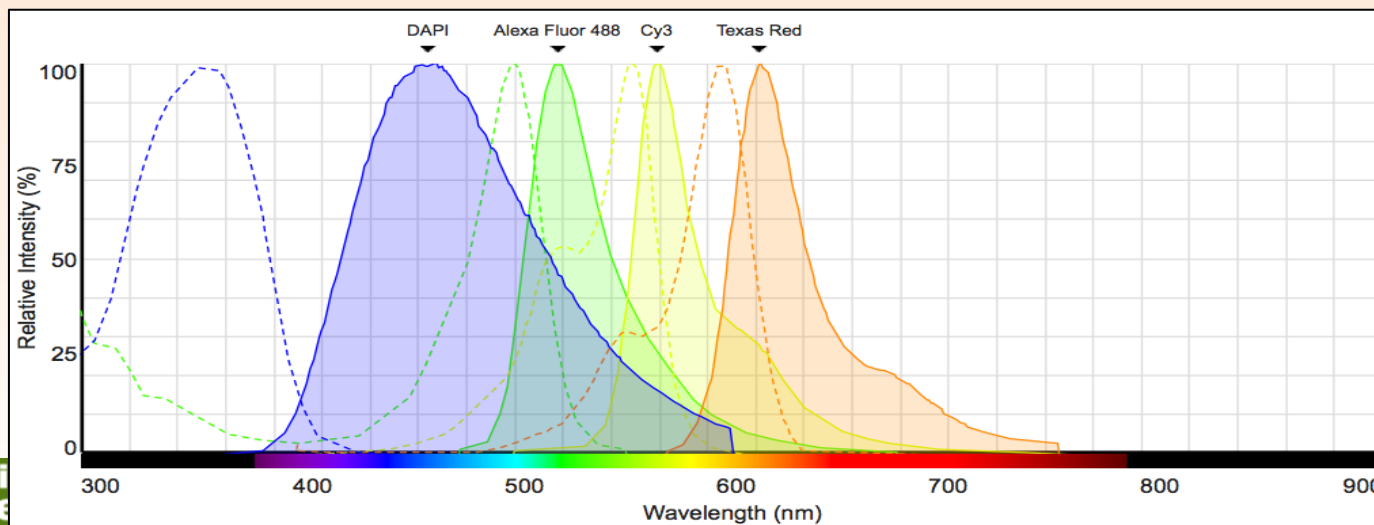
FITC : vert, correspond au filtre FITC

Sp Orange : orange/rouge : correspond au filtre Cy3

TxRed = TRITC = : rouge (Rhodamine) correspond au filtre Cy3,5

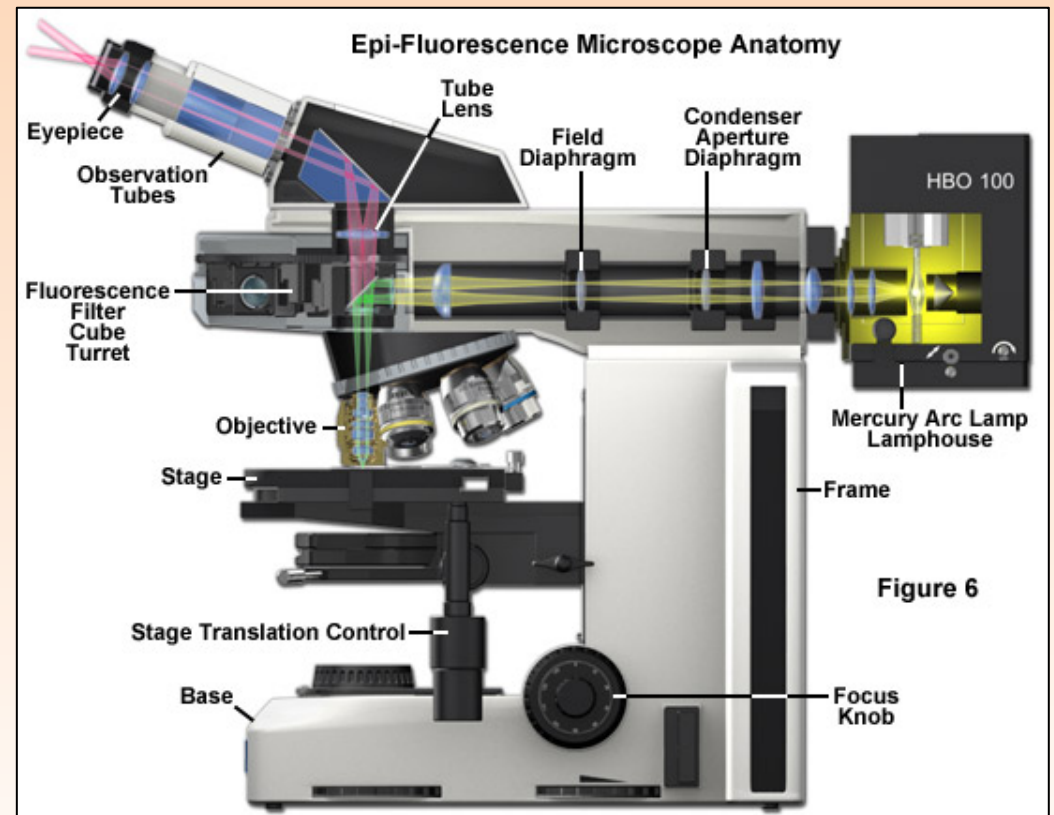
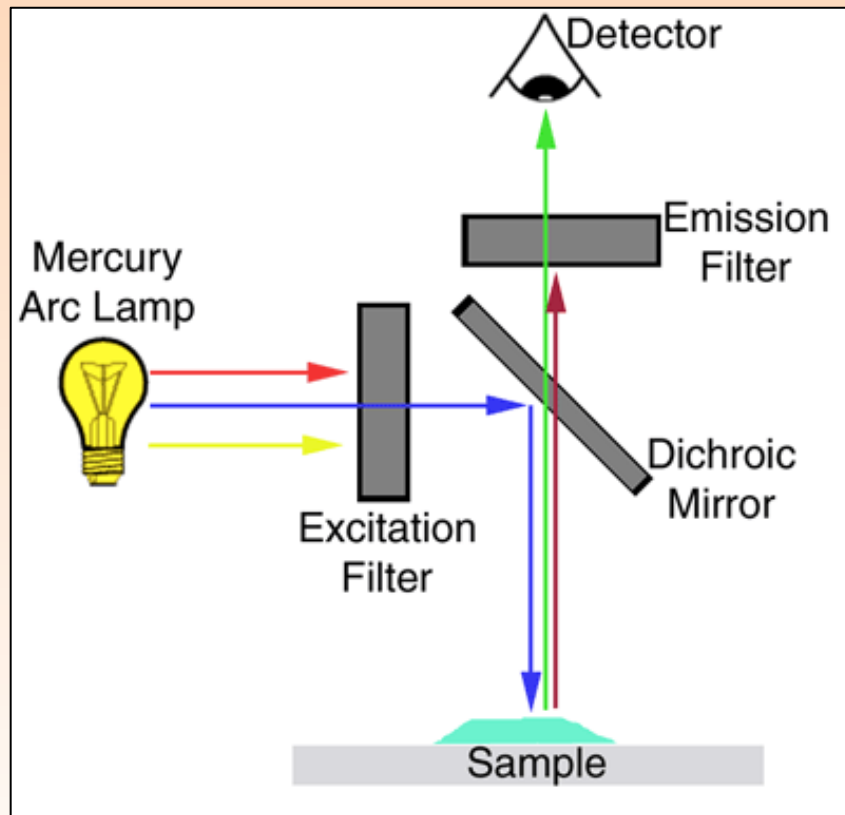
Chaque fluorochrome est détecté grâce à un couple spécifique de 2 filtres : 1 filtre d'excitation, 1 filtre d'émission.

DAPI : utilisé pour contre-colorer la préparation.



Chaque fluorochrome est détecté grâce à un **couple spécifique de 2 filtres** : 1 filtre d'excitation, 1 filtre d'émission.

Principe de la Microscopie à Épifluorescence

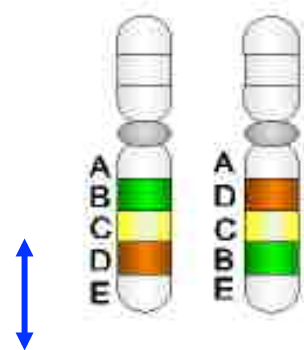


Quelques Anomalies de Structure Chromosomique

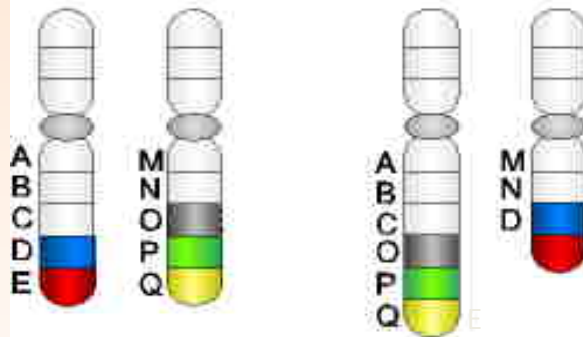
équilibrées

déséquilibrées

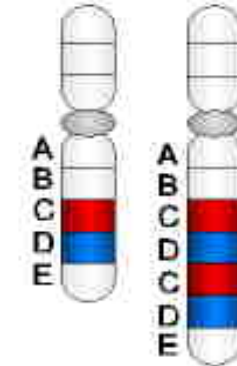
inversion



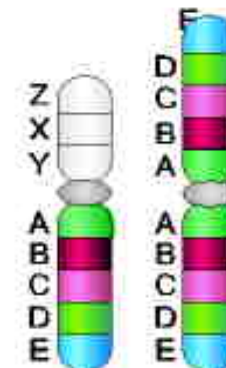
translocation
réciproque



délétion



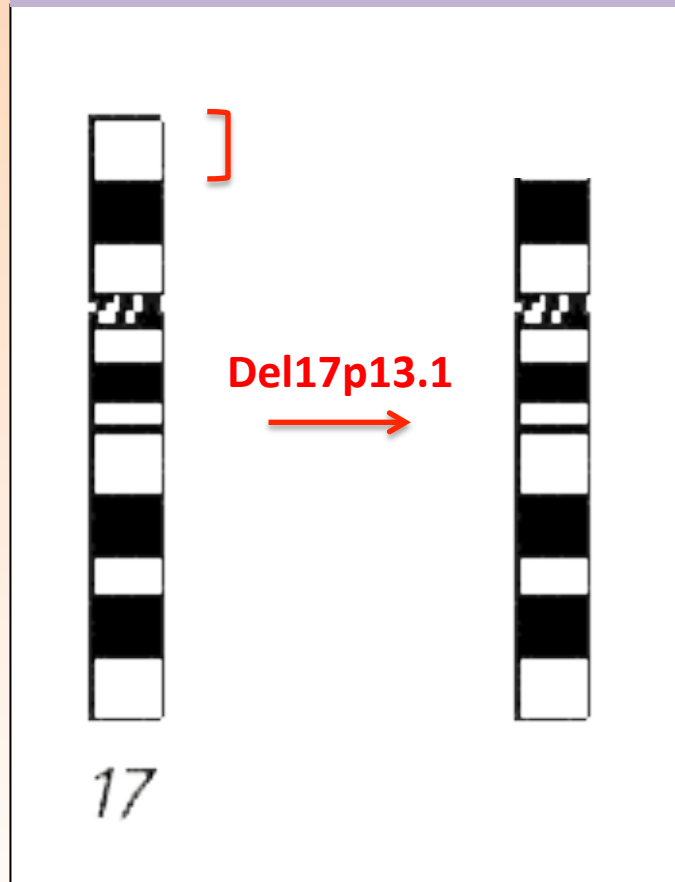
duplication



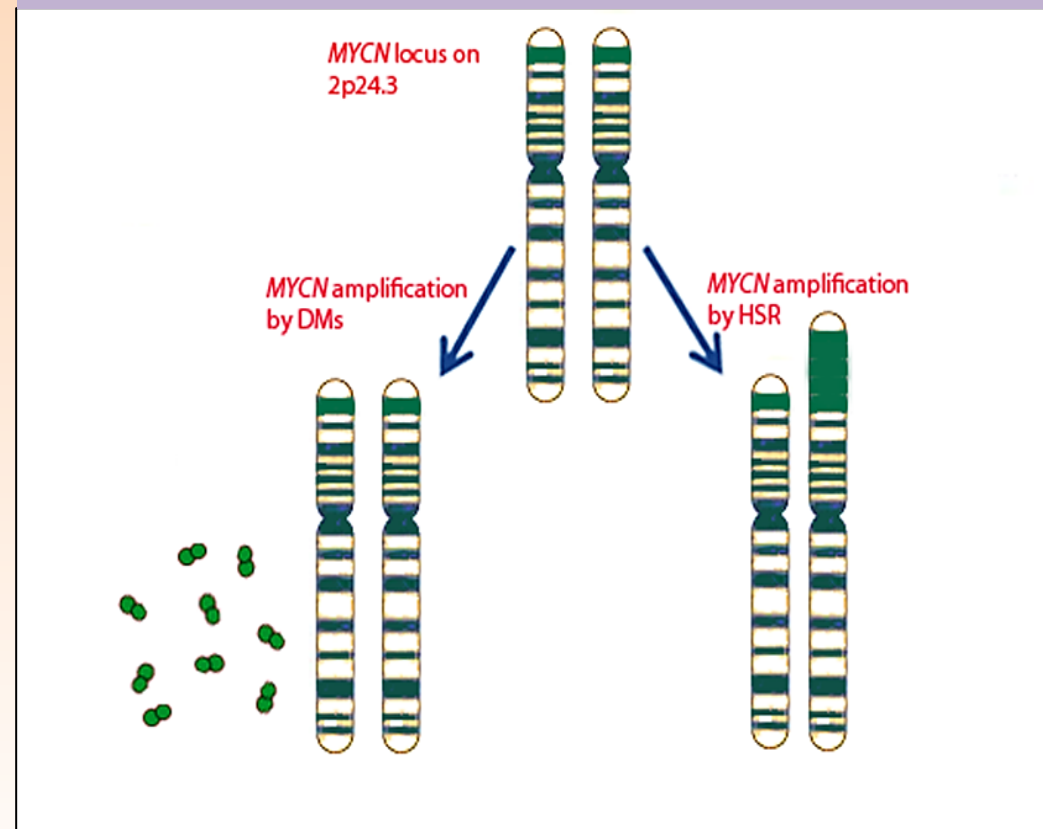
isochromosome

Conséquences Possibles des Anomalies Chromosomiques

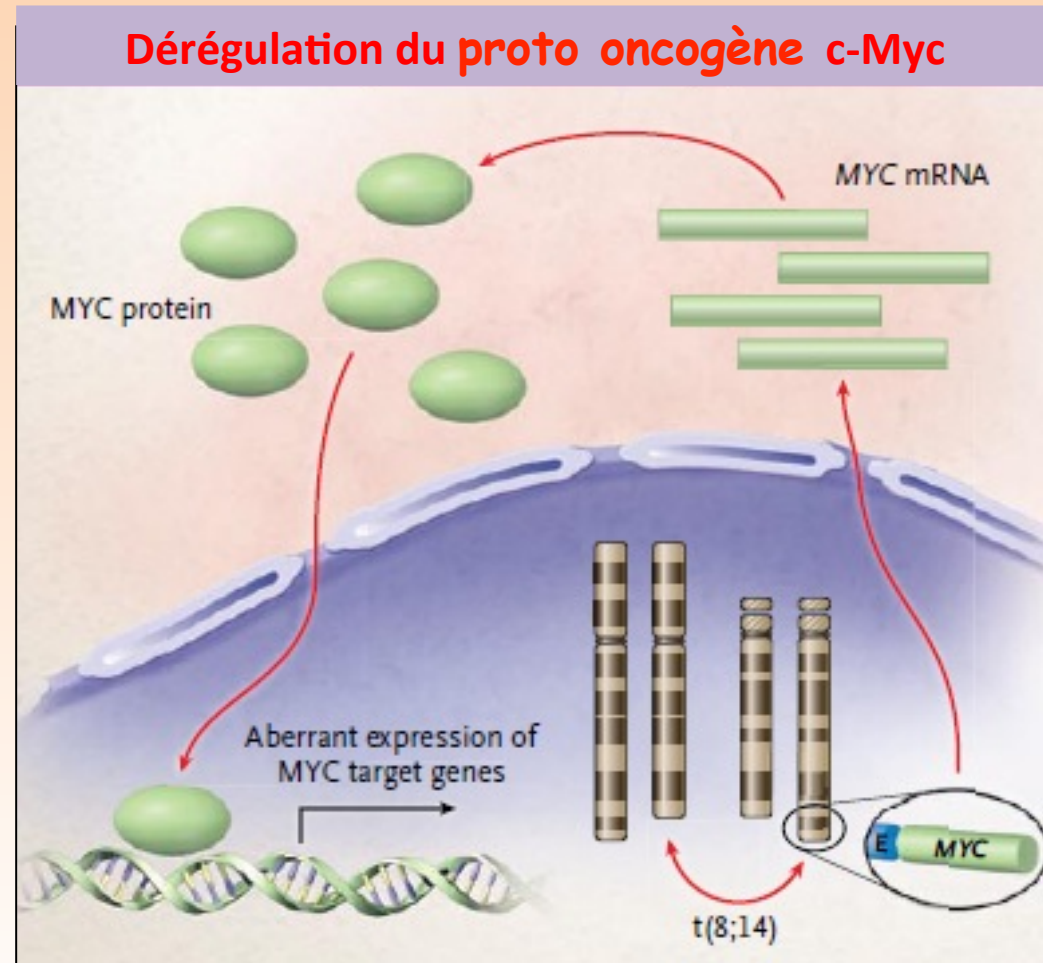
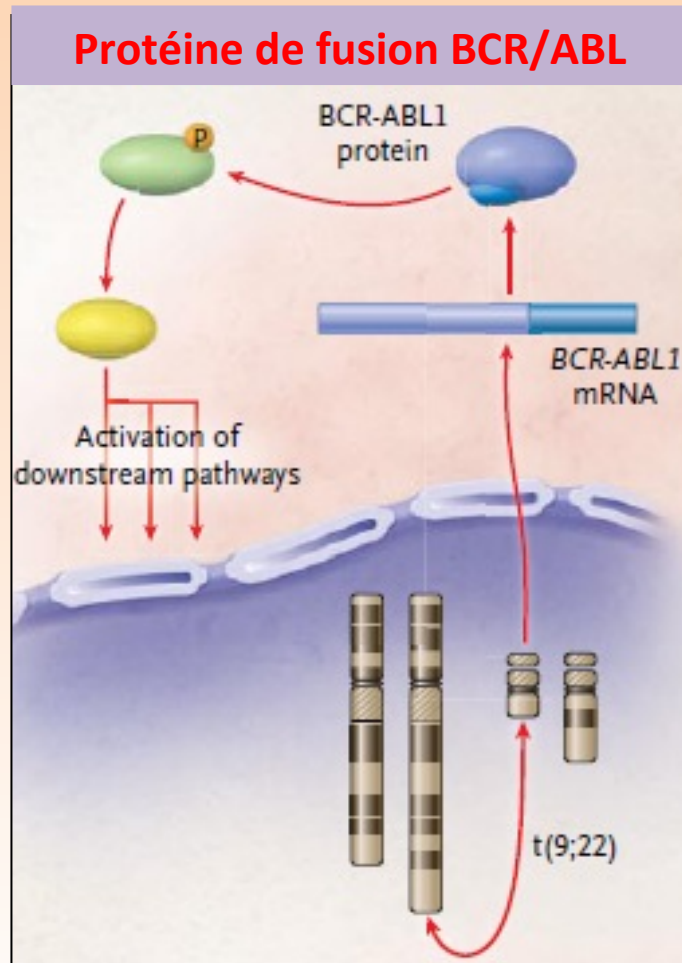
Délétion de l'anti oncogène P53



Amplification/Duplication du proto oncogène c-Myc

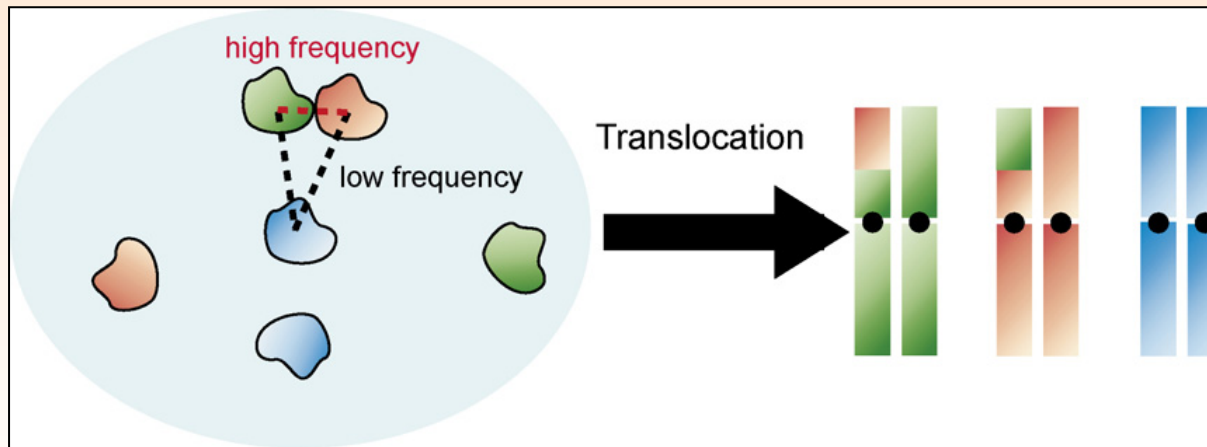
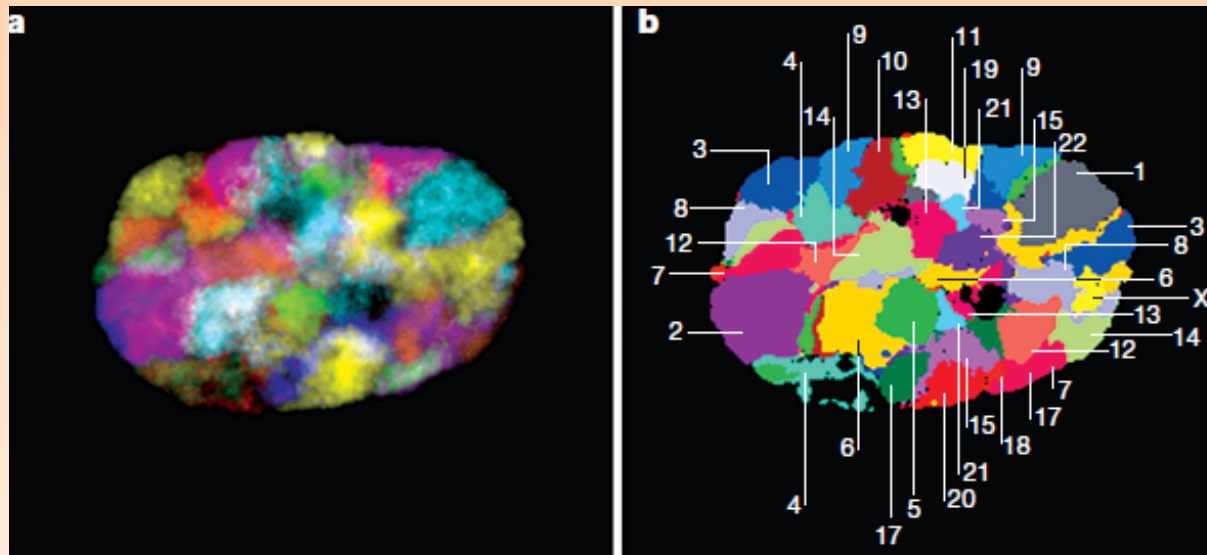


Conséquences Possibles des Anomalies Chromosomiques



Territoires Chromosomiques et Recombinaison

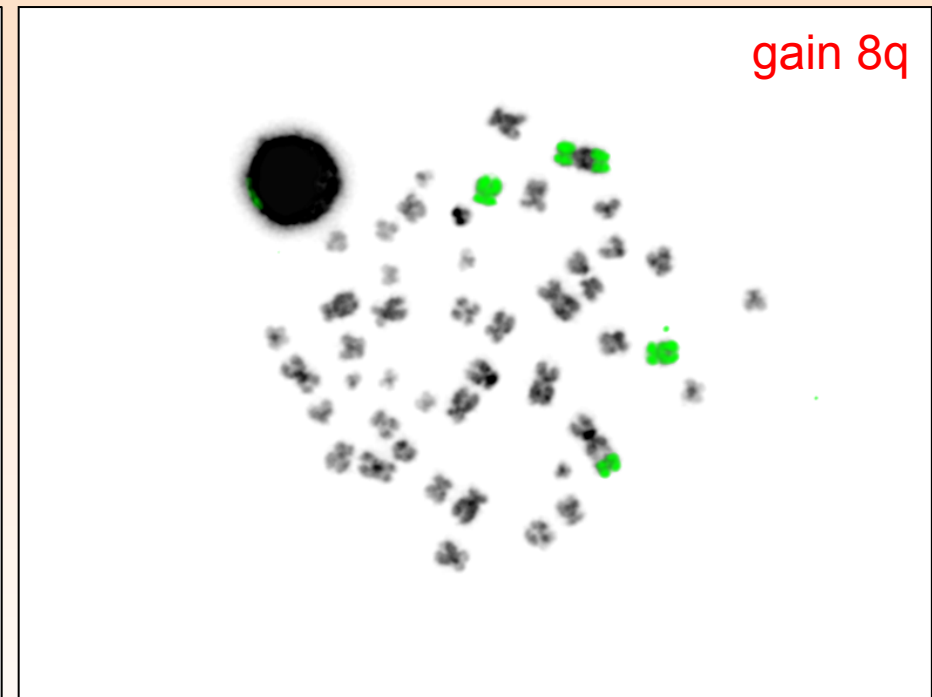
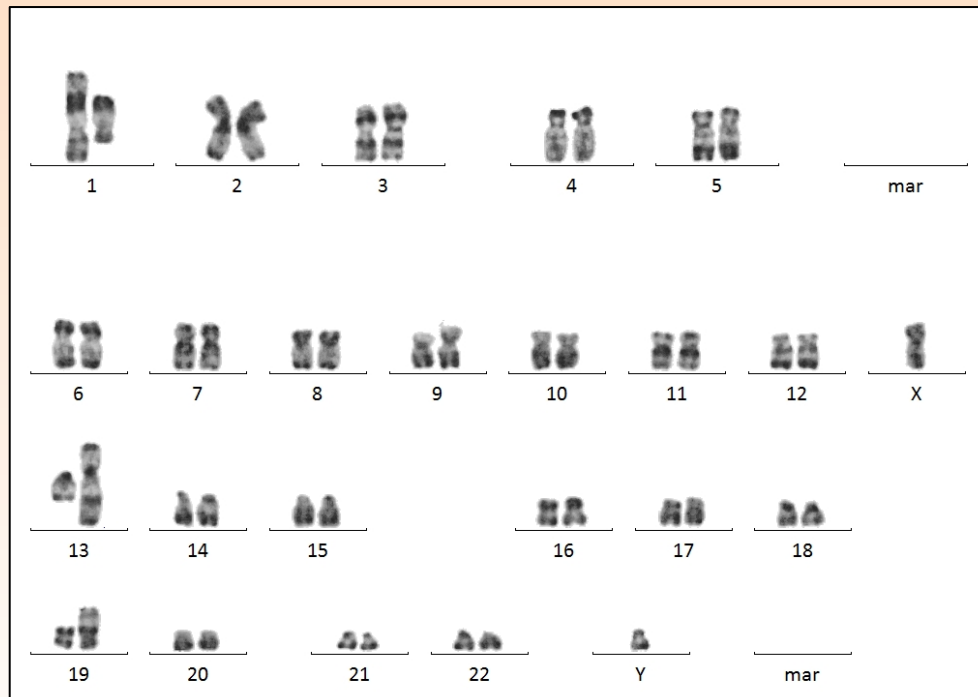
Nat. Rev. 2005



Recherche d'un Remaniement du Chr8

Sonde wcp8 (whole chromosome painting)

-> S'utilise pour voir des remaniements importants ou mal définis

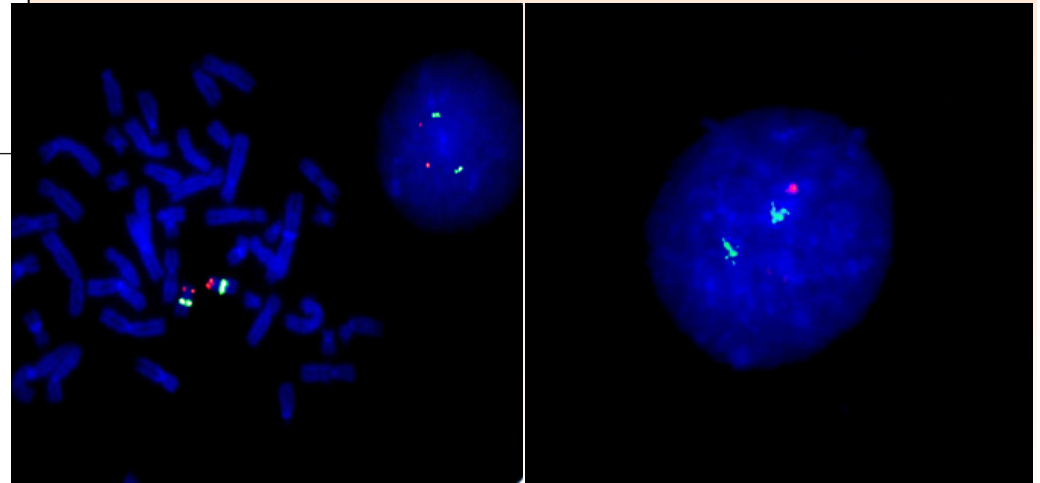
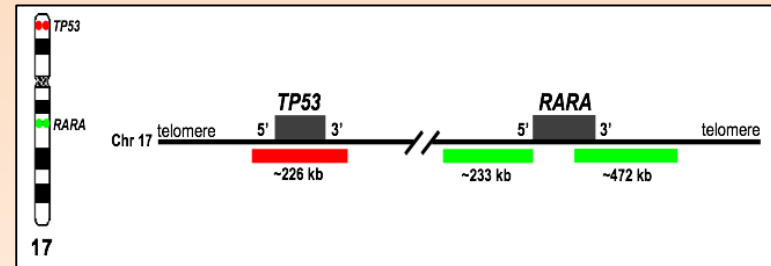
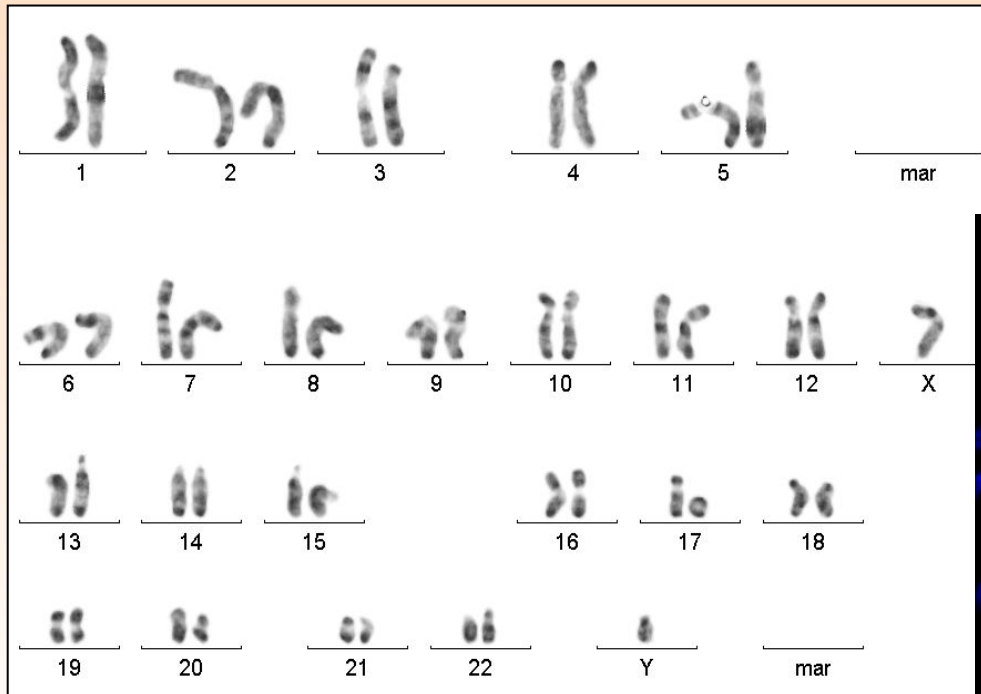


C. Lefebvre – IBP Grenoble

Suspicion d'une Délétion de P53

Sonde délétion

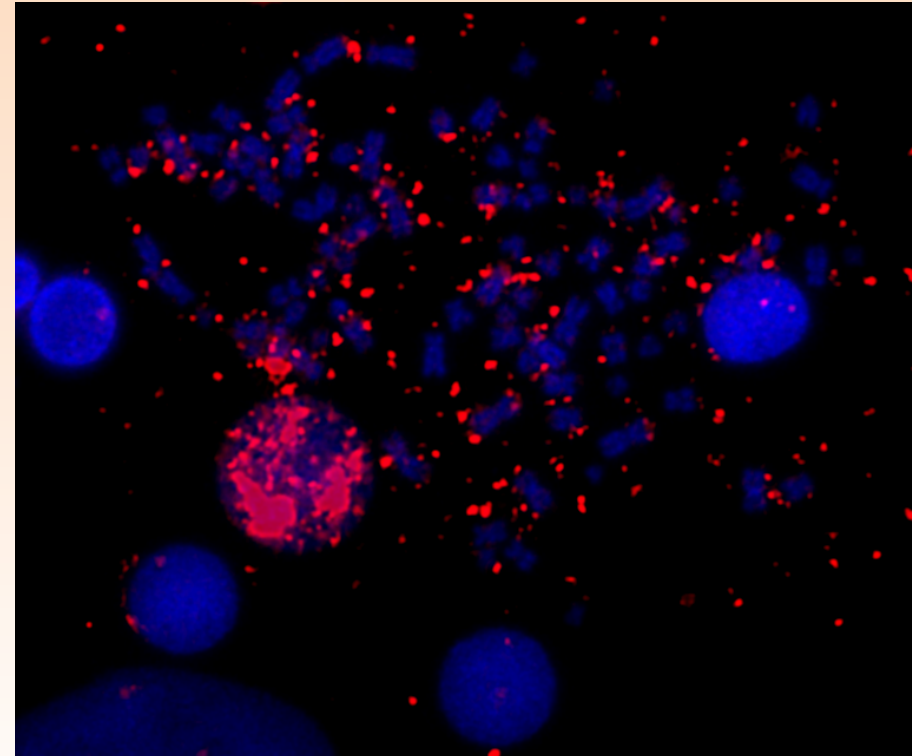
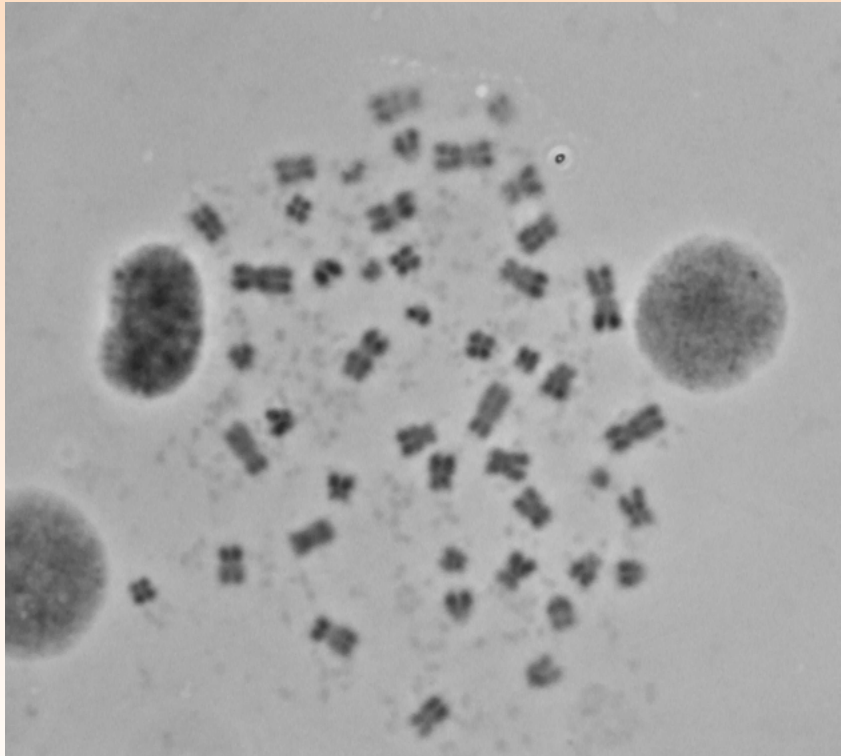
-> S'utilise toujours avec une sonde « contrôle » hybridant le même chromosome



Suspicion d'Amplification du gène *MYCN*

Sonde gain/amplification

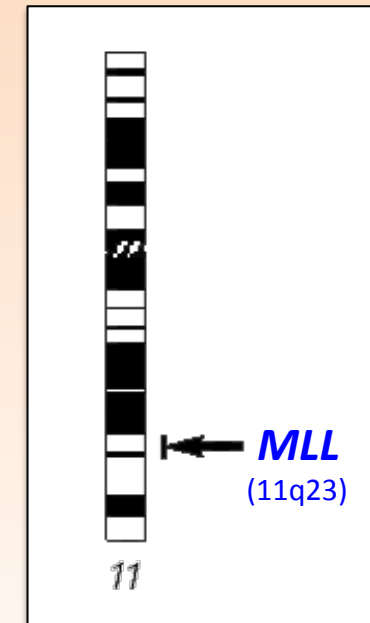
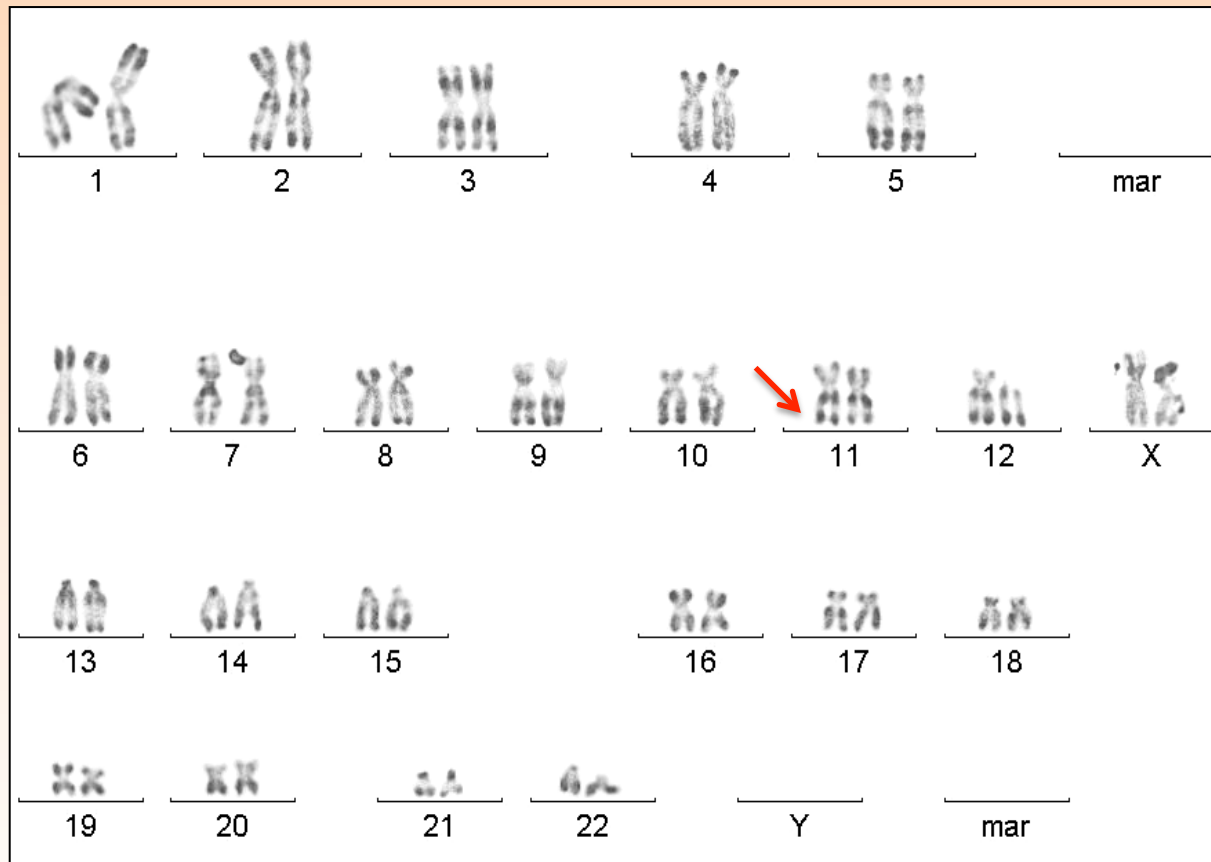
-> S'utilise souvent avec une sonde « contrôle » hybridant le même chromosome



C. Lefebvre – IBP Grenoble

Doute sur le Remaniement d'un Gène Connu

Suspicion de remaniement dans la région 11q (héberge le gène *MLL*, *Mixed-Lineage Leukemia*)

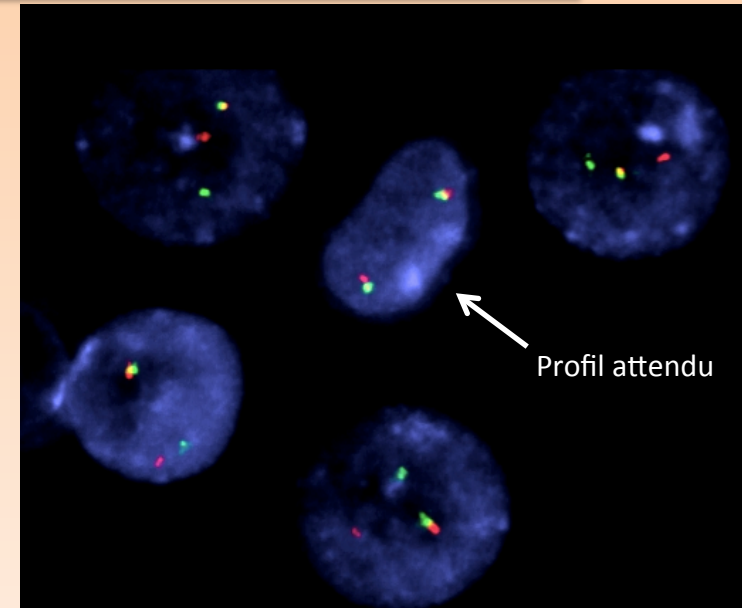
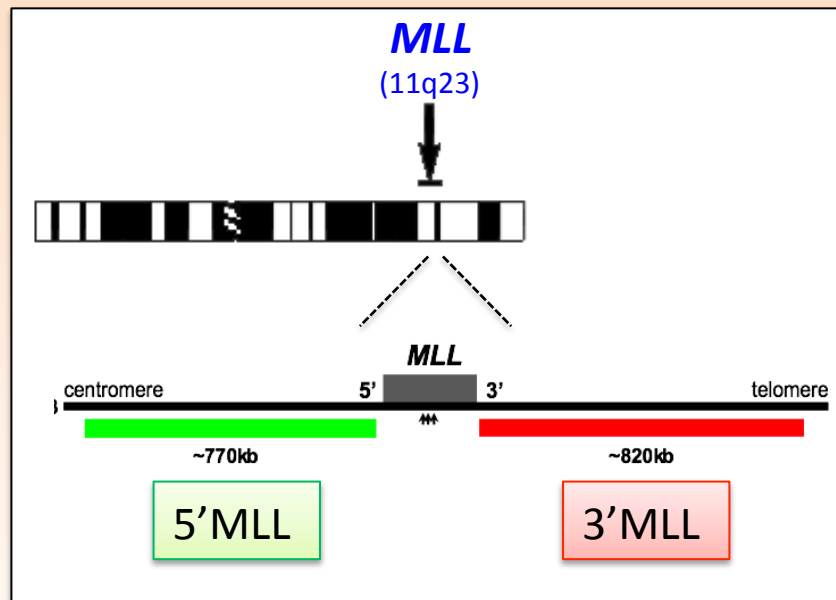


C. Lefebvre – IBP Grenoble

Doute sur le Remaniement du Gène *MLL*

Sondes breakapart (split signal ; séparation)

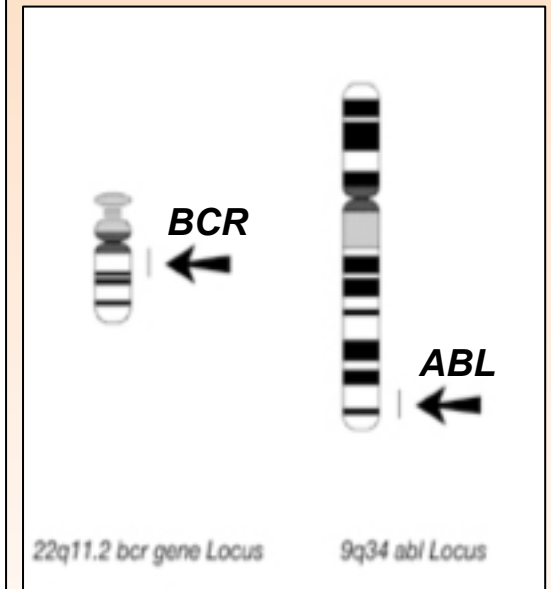
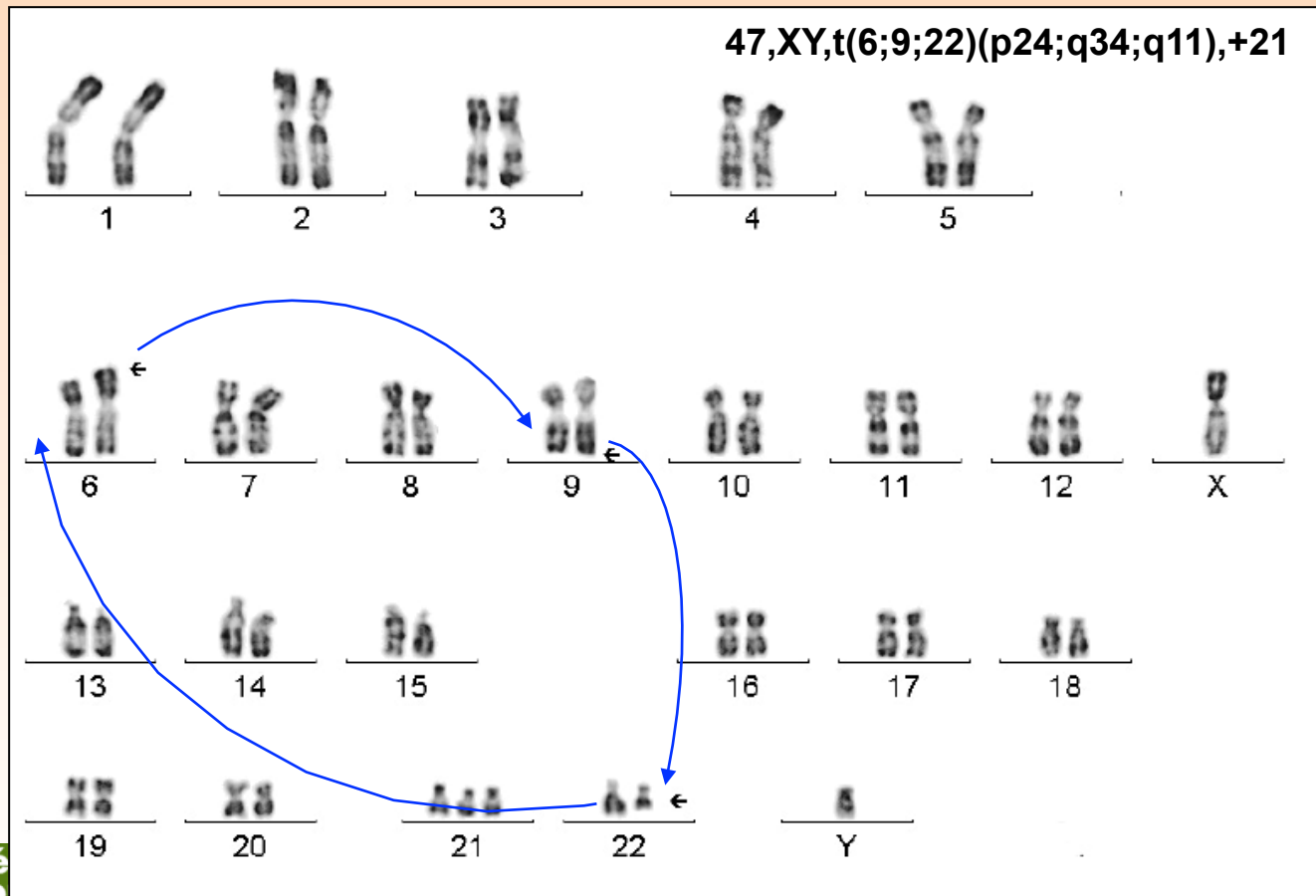
-> Consiste en l'utilisation de **2 sondes** contigües (ou presque) hybridant la même région



C. Lefebvre – IBP Grenoble

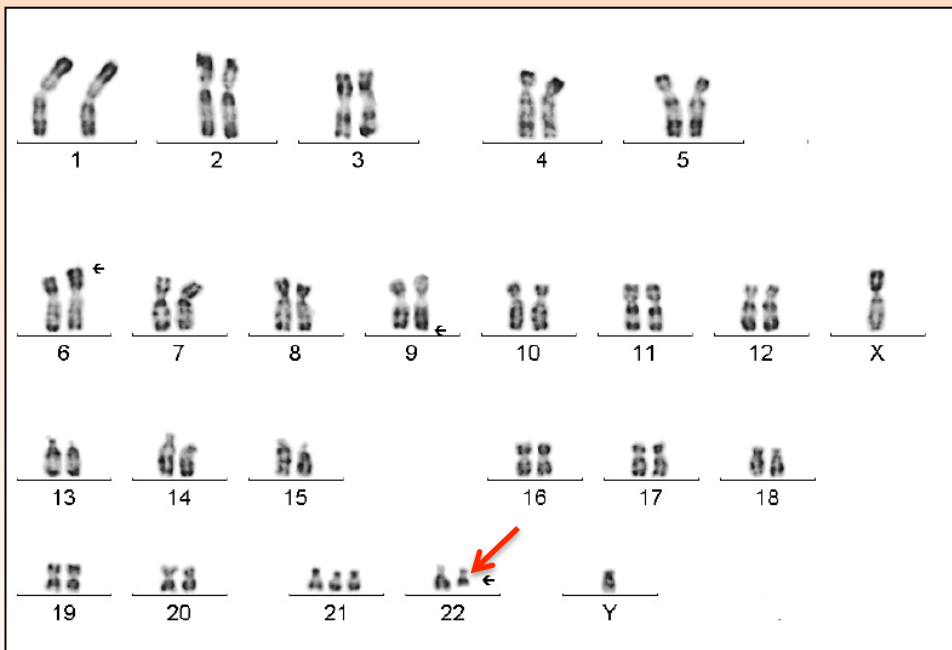
Doute sur le Remaniement Entre 2 Gènes Connus

Suspicion de translocations multiples entre les chr 6, 9 et 22
(chr.9 héberge le gène *ABL*, chr.22 héberge le gène *BCR*)

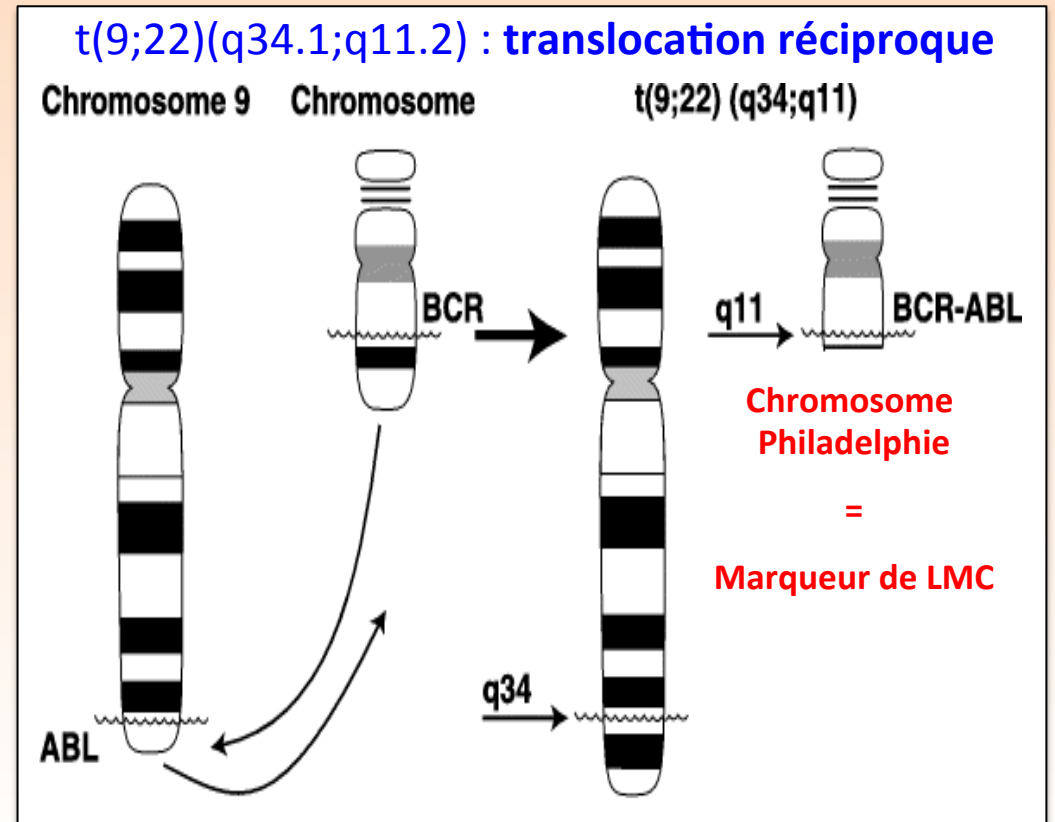


Réarrangement Entre les Gènes *ABL* et *BCR*

Translocations $t(9;22)(q34.1;q11.2)$ et **Chromosome Philadelphie**



C. Lefebvre – IBP Grenoble

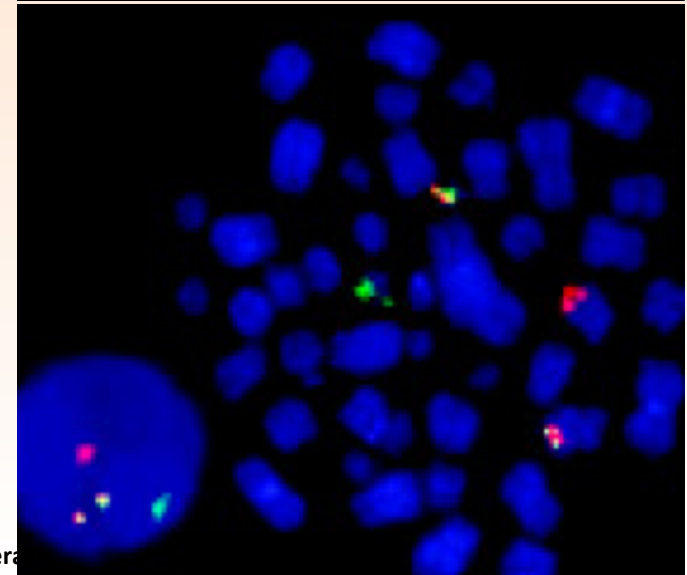
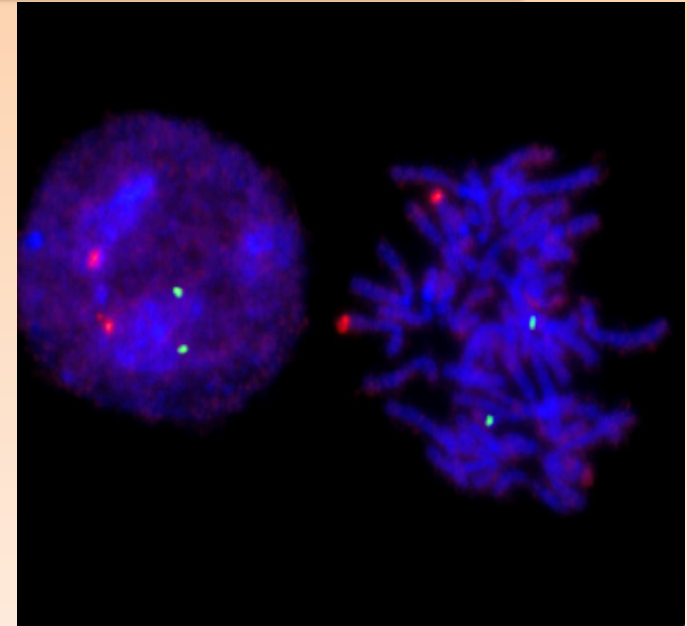
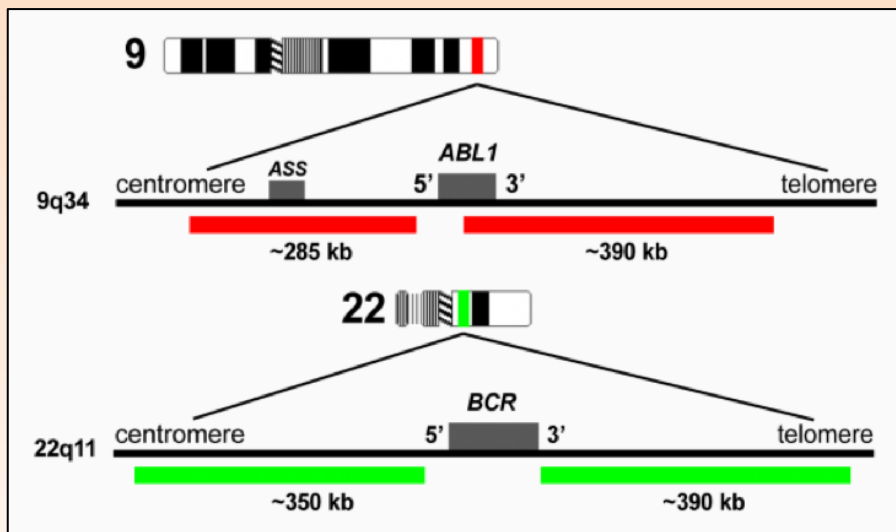


Daniel Perazza – Formation Génét. Humaine & Diagnostique – Bio. Cell. Mars 2015

Doute sur le Réarrangement entre les Gènes *ABL* et *BCR*

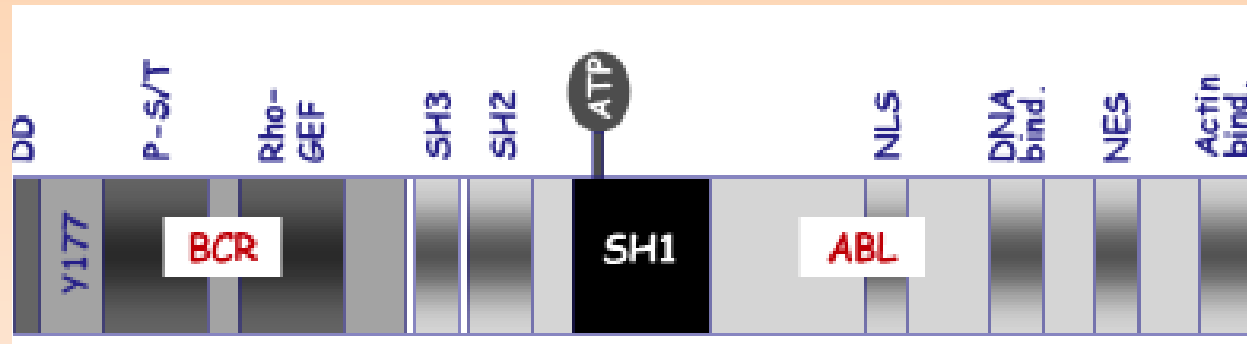
Sondes fusion (split signal ; séparation)

-> Consiste en l'utilisation de **2 sondes** hybridant les régions suspectées de fusion



www.cancergeneticsitalia.com

Effet de la Protéine de Fusion BCR/ABL



↓
Augmente
la prolifération

↓
Réduit
l'adhérence

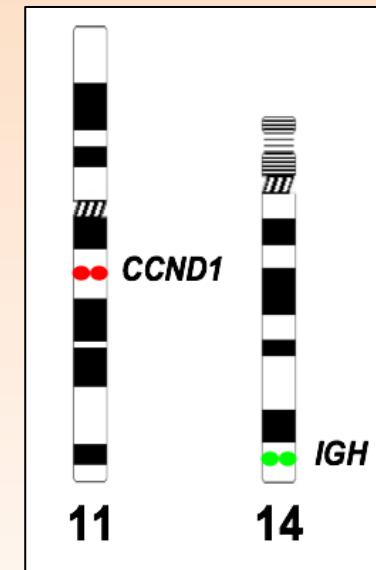
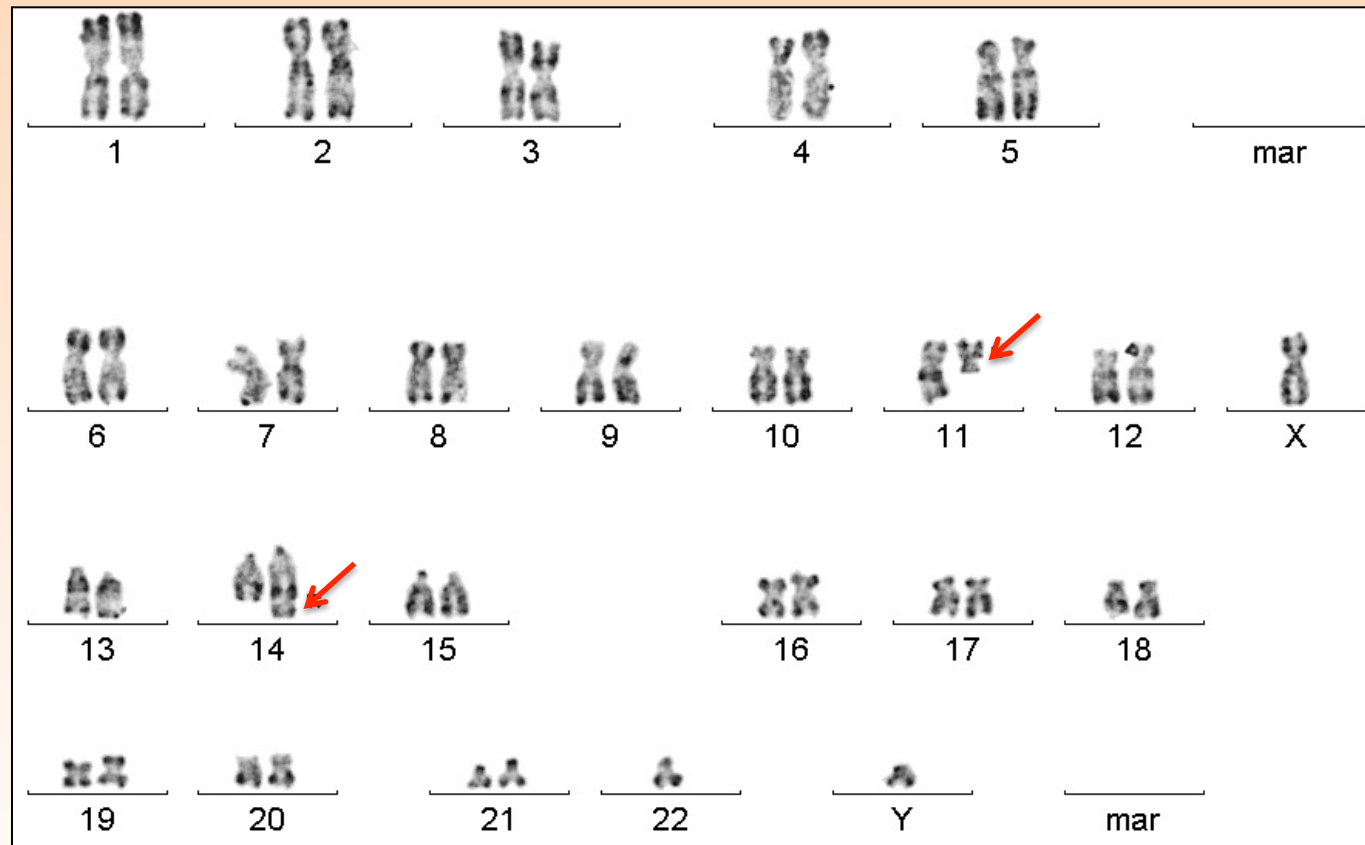
↓
Inhibe
l'apoptose

-> Induit une forte instabilité génétique

Question : comment vérifier la fusion réelle entre 2 protéines ?

Autre Remaniement Entre 2 Régions connues

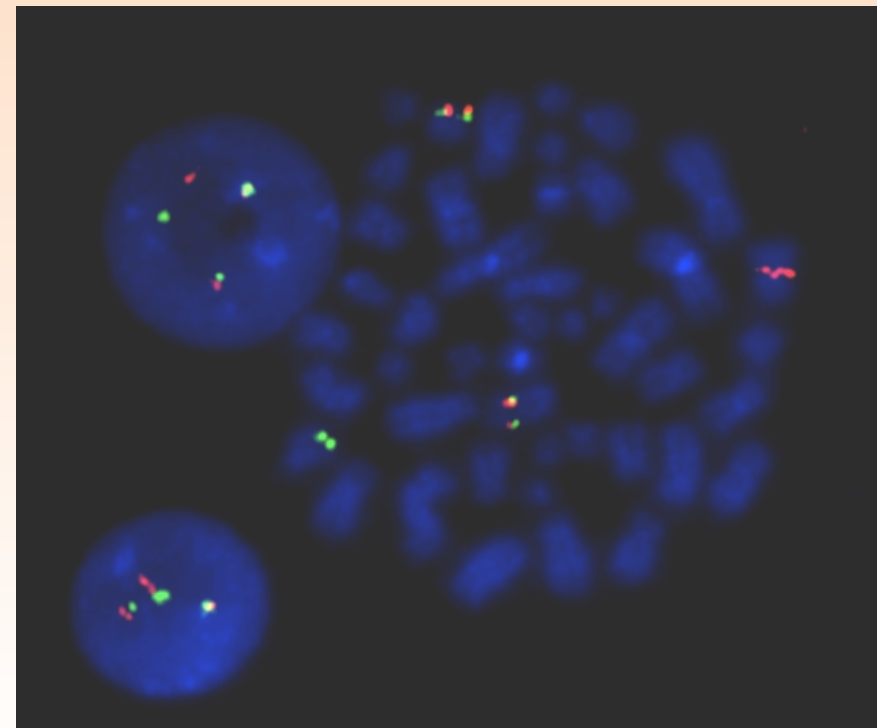
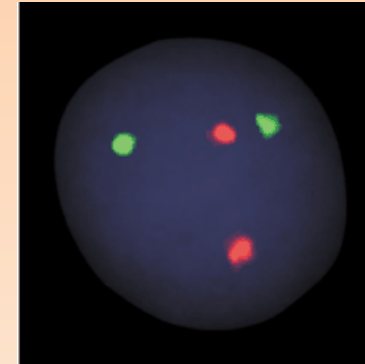
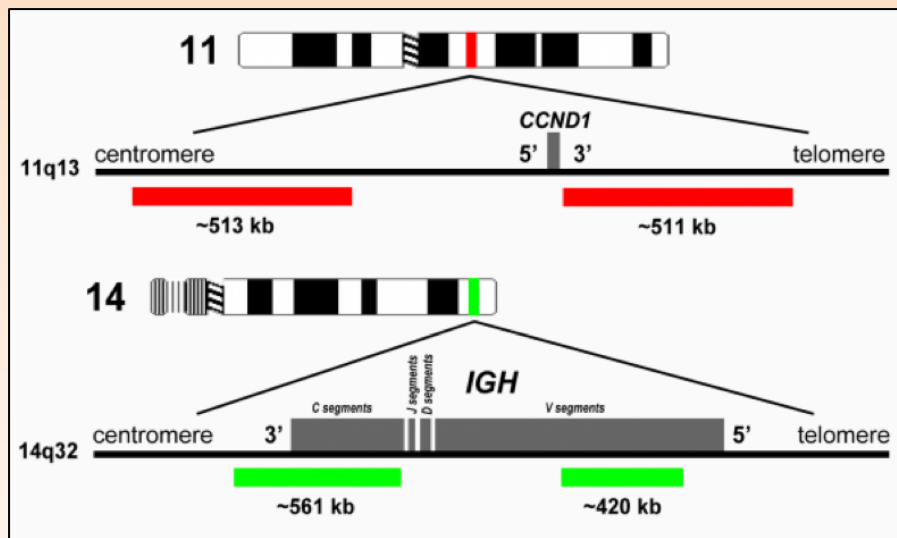
Translocations $t(11;14)(q13;q32)$ et sur-expression de la cycline D1



Doute sur le Réarrangement Entre les Gènes *IGH* et *CCND1*

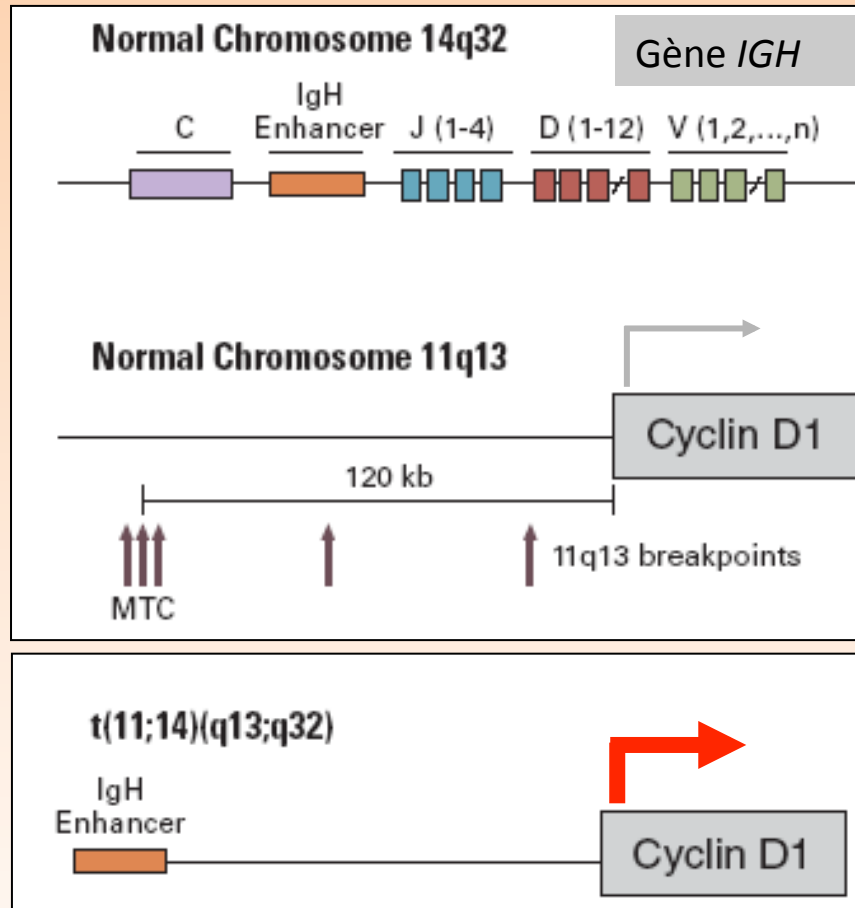
Sondes fusion (split signal ; séparation)

-> Consiste en l'utilisation de **2 sondes** hybridant les régions suspectées de fusion



C. Lefebvre – IBP Grenoble

Effet du Réarrangement Entre les Gènes *IGH* et *CCND1*



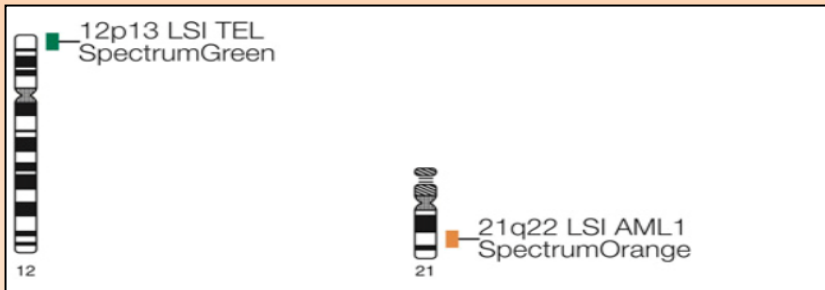
Cassures IGH :
entre les segments D et J

Cassures 11q13 :
hot spot : MTC 120kb en 5' de *CCND1*

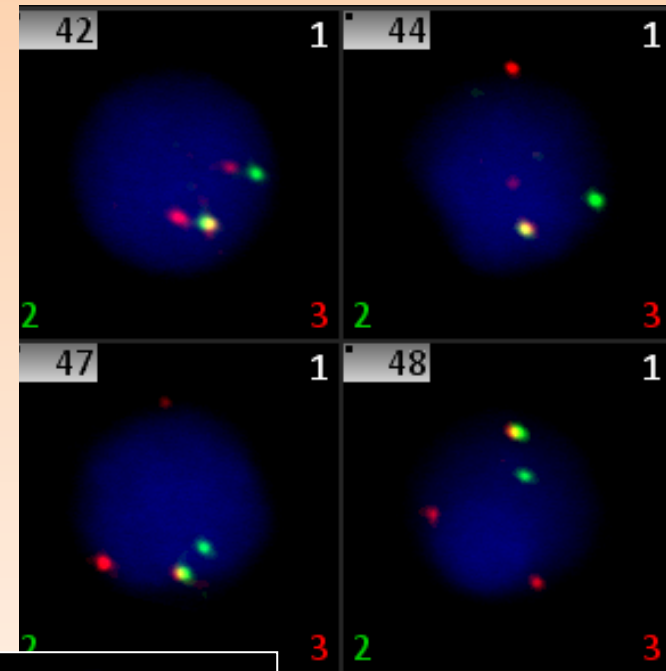
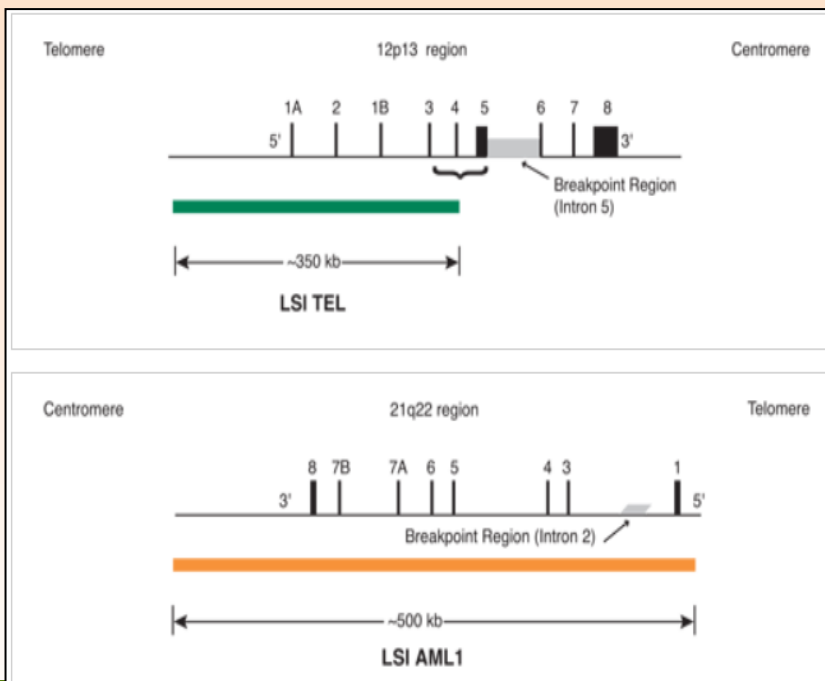
**Surexpression de la
cycline D1**

Question : comment vérifier la surexpression de *CCND1* ?

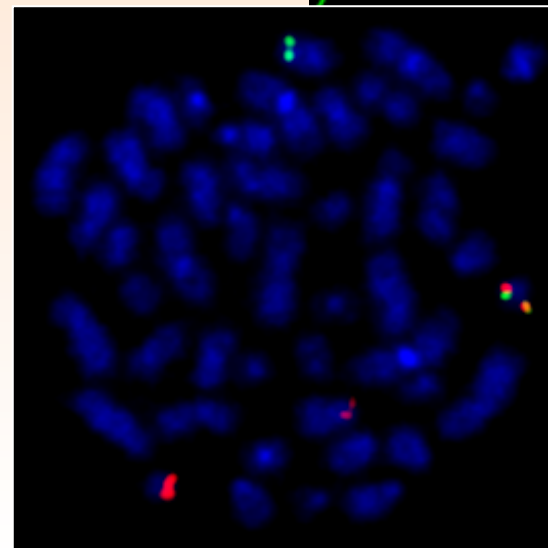
Remaniement avec Amplification de Signal



Sonde fusion avec extra-signal



C. Lefebvre – IBP Grenoble



Translocation $t(12;21)$ TEL/
AML1 accompagnée d'une
duplication du gène *AML1*

Intérêts & Limites de la FISH

Analyse simple et rapide

Information plus précise et détaillée qu'un caryotype

Identification de nouveaux remaniements nécessite de nouvelles sondes

Fusion entre gènes à confirmer par biologie moléculaire (séquençage, RT-PCR)